



ГОСУДАРСТВЕННЫЙ СТАНДАРТ
СОЮЗА ССР

**ПОЯСА ЗЕМЛИ РАДИАЦИОННЫЕ
ЕСТЕСТВЕННЫЕ**

**МОДЕЛЬ ПРОСТРАНСТВЕННО-ЭНЕРГЕТИЧЕСКОГО
РАСПРЕДЕЛЕНИЯ ПЛОТНОСТИ ПОТОКА ПРОТОНОВ**

ГОСТ 25645.138—86

Издание официальное

15 коп.

**ГОСУДАРСТВЕННЫЙ КОМИТЕТ СССР ПО УПРАВЛЕНИЮ
КАЧЕСТВОМ ПРОДУКЦИИ И СТАНДАРТАМ**

Москва

ПОЯСА ЗЕМЛИ РАДИАЦИОННЫЕ
ЕСТЕСТВЕННЫЕ

ГОСТ

Модель пространственно-энергетического
распределения плотности потока протонов

25645.138—86

ОКСТУ 0080

Постановлением Государственного комитета СССР по стандартам от 31 марта 1986 г. № 844 срок введения установлен

с 01.07.87

1. Настоящий стандарт устанавливает модель пространственного и энергетического распределения плотности потока протонов с энергией $10^2 \leq E \leq 10^6$ кэВ на дрейфовых оболочках с параметром $1,2 \leq L \leq 6,6$ для индукции геомагнитного поля $5 \cdot 10^{-7} \leq B \leq 3,8 \cdot 10^{-5}$ Тл в фазах минимума и максимума 11-летнего цикла солнечной активности (далее — 11-летнего цикла) в естественных радиационных поясах Земли (ЕРПЗ).

Стандарт предназначен для использования в расчетах радиационных условий полета космических аппаратов в околоземном пространстве.

2. В модели приведены всенаправленные, усредненные по периодам спокойных геомагнитных условий, значения плотности потока протонов.

За периоды спокойных геомагнитных условий приняты периоды, для которых планетарный суточный индекс геомагнитной активности $A_p \leq 15$.

3. Фазы 11-летнего цикла определяют по ГОСТ 25645.302—83.

4. Распределение захваченной радиации в околоземном пространстве представлено в геомагнитных L , B -координатах, где L — параметр дрейфовой оболочки, B — индукция геомагнитного поля, Тл.

Метод расчета L , B -координат приведен в приложении 1.



5. Энергетическое распределение плотности потока протонов с энергией больше E в точке пространства с геомагнитными координатами L и B вычисляют по формуле

$$\lg I = A_1 + A_2(\lg E) + \dots + A_{n+1}(\lg E)^n, \quad (1)$$

где I — плотность потока протонов с энергией больше E , $\text{см}^{-2} \cdot \text{с}^{-1}$;

A_1, A_2, \dots, A_{n+1} — коэффициенты, определяемые для ряда значений L, B и различных диапазонов энергий E ;

n — степень аппроксимирующего полинома.

Значения коэффициентов A_1, A_2, \dots, A_{n+1} при $n=5$ приведены в табл. 1 для фазы максимума и в табл. 2 — для фазы минимума 11-летнего цикла.

Примечание. Значения плотности потока протонов I на дрейфовых оболочках с параметром $L > 3$ в фазах максимума и минимума 11-летнего цикла совпадают между собой. Для их вычисления используют коэффициенты, приведенные в табл. 2.

6. Пространственное распределение плотности потока протонов с энергией больше E в плоскости геомагнитного экватора вычисляют по формуле

$$\lg I = C_1 + C_2 L + \dots + C_{k+1} L^k, \quad (2)$$

где C_1, C_2, \dots, C_{k+1} — коэффициенты, определяемые для ряда значений энергий E ;

k — степень аппроксимирующего полинома.

Значения коэффициентов C_1, C_2, \dots, C_{k+1} при $k=4$ приведены в табл. 3 для фазы максимума и в табл. 4 — для фазы минимума 11-летнего цикла.

Примечание. Значения плотности потока протонов I на дрейфовых оболочках с параметром $L > 3$ в фазах максимума и минимума 11-летнего цикла совпадают между собой. Для их вычисления используют коэффициенты, приведенные в табл. 4.

7. Погрешность вычисления $\lg I$ по формулам (1) и (2) составляет $\pm 0,5$.

8. Для промежуточных значений энергий E , параметров L и B , для периодов между фазами максимума и минимума 11-летнего цикла значения плотности потока протонов вычисляют методом линейной интерполяции.

9. Данные для приближенных оценок энергетических и пространственных распределений плотности потока протонов приведены в приложении 2.

Коэффициенты для расчета энергетического распределения
плотности потока протонов в фазе максимума 11-летнего цикла
солнечной активности

L	E, кэВ	$10^{-4} B_1$ Тл	A ₁	A ₂	A ₃	A ₄	A ₅	A ₆
1,2	$10^2 \div 4 \cdot 10^5$	0,18	2,1206+01	-3,0022+01	1,9787+01	-6,3388+00	9,8762-01	-6,0131-02
1,2	$10^2 \div 4 \cdot 10^5$	0,20	1,5527+01	-2,0799+01	1,3139+01	-4,0492+00	6,1018-01	-3,6093-02
1,4	$10^2 \div 4 \cdot 10^5$	0,11	4,1914+01	-5,4729+01	3,1182+01	-8,5687+00	1,1433+00	-5,9914-02
1,4	$10^2 \div 4 \cdot 10^5$	0,12	3,6341+01	-4,6952+01	2,7069+01	-7,5348+00	1,0191+00	-5,4199-02
1,4	$10^2 \div 4 \cdot 10^5$	0,14	2,7547+01	-3,5415+01	2,1220+01	-6,1568+00	8,6839-01	-4,8200-02
1,4	$10^2 \div 4 \cdot 10^5$	0,16	1,6114+01	-1,8534+01	1,1338+01	-3,3665+00	4,8980-01	-2,8293-02
1,4	$10^2 \div 4 \cdot 10^5$	0,18	1,8761+01	-2,2893+01	1,3712+01	-4,0150+00	5,7909-01	-3,3221-02
1,4	$10^2 \div 4 \cdot 10^5$	0,20	2,9541+01	-4,0371+01	2,4883+01	-7,3731+00	1,0670+00	-6,0634-02
1,4	$10^2 \div 4 \cdot 10^5$	0,22	4,8908+01	-7,4634+01	4,6923+01	-1,4360+01	2,1388+00	-1,2411-01
1,6	$10^2 \div 4 \cdot 10^5$	0,07	7,2932+01	-9,9764+01	5,7009+01	-1,5635+01	2,0664+00	-1,0642-01
1,6	$10^2 \div 4 \cdot 10^5$	0,08	9,6104+01	-1,3404+02	7,6433+01	-2,0931+01	2,7627+00	-1,4186-01
1,6	$10^2 \div 4 \cdot 10^5$	0,10	6,1203+01	-8,3037+01	4,7751+01	-1,3252+01	1,7802+00	-9,3547-02
1,6	$10^2 \div 4 \cdot 10^5$	0,12	8,3802+01	-1,1825+02	6,8253+01	-1,8994+01	2,5592+00	-1,3463-01
1,6	$10^2 \div 4 \cdot 10^5$	0,14	5,6229+01	-7,8550+01	4,6230+01	-1,3138+01	1,8099+00	-9,7554-02
1,6	$10^2 \div 4 \cdot 10^5$	0,16	1,9020+01	-2,3778+01	1,4984+01	-4,5424+00	6,6453-01	-3,8125-02
1,6	$10^2 \div 4 \cdot 10^5$	0,18	6,2733+01	-8,9534+01	5,2745+01	-1,5060+01	2,0939+00	-1,1417-01
1,6	$10^2 \div 4 \cdot 10^5$	0,20	3,6774+01	-5,1983+01	3,1685+01	-9,3835+00	1,3550+00	-7,6867-02
1,6	$10^2 \div 4 \cdot 10^5$	0,22	4,3894+01	-6,4023+01	3,8976+01	-1,1574+01	1,6829+00	-9,6256-02
1,6	$10^2 \div 2 \cdot 10^5$	0,24	-1,7776+01	3,1542+01	-1,9539+01	5,8782+00	-8,5842-01	4,8598-02
1,8	$10^2 \div 4 \cdot 10^5$	0,05	1,1708+02	-1,6410+02	9,3495+01	-2,5539+01	3,3517+00	-1,7064-01
1,8	$10^2 \div 4 \cdot 10^5$	0,06	8,9472+01	-1,2421+02	7,1351+01	-1,9670+01	2,6070+00	-1,3424-01
1,8	$10^2 \div 4 \cdot 10^5$	0,08	1,1073+02	-1,5853+02	9,2250+01	-2,5816+01	3,4814+00	-1,8250-01
1,8	$10^2 \div 4 \cdot 10^5$	0,10	8,0342+01	-1,1147+02	6,4031+01	-1,7711+01	2,3643+00	-1,2310-01

L	E, кэВ	$\frac{B}{10^{-4} \text{Тл}}$	A ₁	A ₂	A ₃	A ₄	A ₅	A ₆
1,8	10 ² ÷ 4 · 10 ⁵	0,12	8,5535+01	-1,1976+02	6,8861+01	-1,9108+01	2,5658+00	-1,3462-01
1,8	10 ² ÷ 4 · 10 ⁵	0,14	7,9869+01	-1,1369+02	6,6455+01	-1,8734+01	2,5544+00	-1,3602-01
1,8	10 ² ÷ 4 · 10 ⁵	0,16	5,5857+01	-7,8810+01	4,6729+01	-1,3369+01	1,8511+00	-1,0035-01
1,8	10 ² ÷ 2 · 10 ⁵	0,18	6,6666+01	-9,4777+01	5,5264+01	-1,5586+01	2,1389+00	-1,1551-01
1,8	10 ² ÷ 2 · 10 ⁵	0,20	6,1370+01	-8,9892+01	5,4314+01	-1,5913+01	2,2694+00	-1,2707-01
1,8	10 ² ÷ 2 · 10 ⁵	0,22	4,3511+01	-6,2628+01	3,7575+01	-1,0990+01	1,5772+00	-8,9695-02
1,8	10 ² ÷ 10 ⁵	0,24	-3,5690+01	6,5946+01	-4,4822+01	1,4887+01	-2,4091+00	1,5115-01
1,8	10 ² ÷ 5 · 10 ⁴	0,26	6,5429+01	-1,0350+02	6,4442+01	-1,9519+01	2,8763+00	-1,6536-01
2,0	10 ² ÷ 4 · 10 ⁵	0,039	1,1840+02	-1,6589+02	9,5171+01	-2,6235+01	3,4754+00	-1,7868-01
2,0	10 ² ÷ 4 · 10 ⁵	0,04	1,2339+02	-1,7560+02	1,0156+02	-2,8129+01	3,7354+00	-1,9213-01
2,0	10 ² ÷ 4 · 10 ⁵	0,06	9,6433+01	-1,3561+02	7,8729+01	-2,1971+01	2,9478+00	-1,5371-01
2,0	10 ² ÷ 2 · 10 ⁵	0,08	8,0375+01	-1,1444+02	6,7653+01	-1,9180+01	2,6104+00	-1,3799-01
2,0	10 ² ÷ 2 · 10 ⁵	0,10	7,0278+01	-9,7944+01	5,7324+01	-1,6141+01	2,1864+00	-1,1541-01
2,0	10 ² ÷ 2 · 10 ⁵	0,12	7,3123+01	-1,0352+02	6,0937+01	-1,7235+01	2,3440+00	-1,2408-01
2,0	10 ² ÷ 2 · 10 ⁵	0,14	1,3598+02	-1,9646+02	1,1386+02	-3,1869+01	4,3159+00	-2,2789-01
2,0	10 ² ÷ 2 · 10 ⁵	0,16	8,2056+01	-1,1895+02	7,0664+01	-2,0182+01	2,7751+00	-1,4845-01
2,0	10 ² ÷ 2 · 10 ⁵	0,18	8,0114+01	-1,1391+02	6,6136+01	-1,8432+01	2,4703+00	-1,2879-01
2,0	10 ² ÷ 2 · 10 ⁵	0,20	5,9910+01	-8,6988+01	5,2703+01	-1,5394+01	2,1688+00	-1,1921-01
2,0	10 ² ÷ 2 · 10 ⁵	0,22	6,3650+01	-9,2887+01	5,5837+01	-1,6197+01	2,2712+00	-1,2447-01
2,0	10 ² ÷ 10 ⁵	0,24	3,6422+01	-5,3282+01	3,2876+01	-9,8121+00	1,4202+00	-8,0766-02
2,0	10 ² ÷ 5 · 10 ⁴	0,26	3,0586+01	-4,8042+01	3,0221+01	-9,2011+00	1,3586+00	-7,8498-02
2,2	10 ² ÷ 2 · 10 ⁵	0,029	7,6360+01	-1,0064+02	5,6269+01	-1,4932+01	1,8664+00	-8,9031-02
2,2	10 ² ÷ 2 · 10 ⁵	0,04	6,2187+01	-8,5489+01	5,0577+01	-1,4200+01	1,8857+00	-9,6356-02
2,2	10 ² ÷ 2 · 10 ⁵	0,06	5,7628+01	-7,8174+01	4,6144+01	-1,3036+01	1,7531+00	-9,1246-02
2,2	10 ² ÷ 2 · 10 ⁵	0,08	7,8876+01	-1,1028+02	6,4451+01	-1,8077+01	2,4275+00	-1,2643-01
2,2	10 ² ÷ 2 · 10 ⁵	0,10	3,5757+01	-4,6795+01	2,8231+01	-8,1007+00	1,0976+00	-5,7582-02
2,2	10 ² ÷ 2 · 10 ⁵	0,12	4,2061+01	-5,5597+01	3,2789+01	-9,2347+00	1,2344+00	-6,3991-02
2,2	10 ² ÷ 10 ⁵	0,14	4,3248+01	-5,7085+01	3,3362+01	-9,3219+00	1,2363+00	-6,3479-02
2,2	10 ² ÷ 10 ⁵	0,16	-1,5280+01	3,4696+01	-2,2627+01	7,2510+00	-1,1489+00	7,0384-02

L	E, кэВ	B_1 10^{-4} Гл	A_1	A_2	A_3	A_4	A_5	A_6
2,2	$10^2 \div 10^5$	0,18	4,7478+01	-6,4085+01	3,7560+01	-1,0587+01	1,4282+00	-7,5106-02
2,2	$10^2 \div 10^5$	0,20	4,3484+01	-5,9905+01	3,5993+01	-1,0399+01	1,4402+00	-7,7994-02
2,2	$10^2 \div 10^5$	0,22	3,9399+01	-5,2063+01	3,0046+01	-8,3096+00	1,0953+00	-5,6346-02
2,2	$10^2 \div 10^5$	0,24	-3,9015+01	7,2815+01	-4,8219+01	1,5641+01	-2,4908+00	1,5431-01
2,2	$10^2 \div 2 \cdot 10^4$	0,26	-5,0471+00	8,1590+00	-3,2852+00	5,6228-01	-3,9501-02	-
2,4	$10^2 \div 10^5$	0,022	-6,5610+00	2,2853+01	-1,4377+01	4,6644+00	-7,8845-01	5,1986-02
2,4	$10^2 \div 10^5$	0,04	9,8184+01	-1,4321+02	8,7194+01	-2,5556+01	3,5925+00	-1,9583-01
2,4	$10^2 \div 10^5$	0,06	1,8582+01	-1,9866+01	1,3033+01	-4,0612+00	5,7622-01	-3,1467-02
2,4	$10^2 \div 10^5$	0,08	4,7637+01	-6,5065+01	3,9893+01	-1,1733+01	1,6394+00	-8,8668-02
2,4	$10^2 \div 10^5$	0,10	5,7130+01	-7,9022+01	4,7398+01	-1,3643+01	1,8724+00	-9,9675-02
2,4	$10^2 \div 10^5$	0,12	3,1822+01	-4,0145+01	2,4462+01	-7,1358+00	9,7924-01	-5,2071-02
2,4	$10^2 \div 10^5$	0,14	5,2088+01	-7,1752+01	4,3164+01	-1,2471+01	1,7166+00	-9,1646-02
2,4	$10^2 \div 10^5$	0,16	-1,0646+02	1,8030+02	-1,1325+02	3,4963+01	-5,3303+00	3,1952-01
2,4	$10^2 \div 10^5$	0,18	4,6010+01	-6,2619+01	3,7441+01	-1,0718+01	1,4524+00	-7,5766-02
2,4	$10^2 \div 10^5$	0,20	9,0802+01	-1,3494+02	8,2557+01	-2,4443+01	3,4967+00	-1,9533-01
2,4	$10^2 \div 10^5$	0,22	4,8893+01	-7,0802+01	4,4281+01	-1,3365+01	1,9391+00	-1,1009-01
2,4	$10^2 \div 10^5$	0,24	2,9853+01	-4,3299+01	2,8664+01	-9,1265+00	1,3896+00	-8,2876-02
2,4	$10^2 \div 2 \cdot 10^4$	0,26	3,4515+01	-4,4985+01	2,3399+01	-5,2239+00	4,1562-01	-
2,4	$10^2 \div 4 \cdot 10^3$	0,28	4,0947+00	-1,1270+00	-3,1327-01	1,1118-01	-	-
2,6	$10^2 \div 5 \cdot 10^4$	0,018	3,6949+01	-4,2368+01	2,3454+01	-5,8717+00	6,1881-01	-2,0475-02
2,6	$10^2 \div 5 \cdot 10^4$	0,02	-1,7488+01	4,0272+01	-2,5154+01	7,9242+00	-1,2761+00	8,0723-02
2,6	$10^2 \div 5 \cdot 10^4$	0,04	1,3474+02	-2,0713+02	1,3065+02	-3,9884+01	5,8824+00	-3,3829-01
2,6	$10^2 \div 5 \cdot 10^4$	0,06	5,8965+00	-2,3223+00	3,9352+00	-1,7515+00	2,8436-01	-1,6559-02
2,6	$10^2 \div 5 \cdot 10^4$	0,08	5,8695+01	-8,7363+01	5,6650+01	-1,7572+01	2,5884+00	-1,4714-01
2,6	$10^2 \div 5 \cdot 10^4$	0,10	1,2679+02	-2,0172+02	1,3170+02	-4,1674+01	6,3723+00	-3,7945-01
2,6	$10^2 \div 5 \cdot 10^4$	0,12	1,1835+02	-1,7959+02	1,1215+02	-3,3976+01	4,9766+00	-2,8432-01
2,6	$10^2 \div 5 \cdot 10^4$	0,14	3,7892+01	-5,3268+01	3,4915+01	-1,0988+01	1,6388+00	-9,4790-02
2,6	$10^2 \div 5 \cdot 10^4$	0,16	-7,9146+01	1,3279+02	-8,0674+01	2,4087+01	-3,5684+00	2,0824-01
2,6	$10^2 \div 2 \cdot 10^4$	0,18	5,7316+00	-1,1814+00	1,5426+00	-5,5881-01	4,8444-02	-

L	E, кэВ	$10^{-4} B_1 T_D$	A ₁	A ₂	A ₃	A ₄	A ₅	A ₆
2,6	$10^2 \div 2 \cdot 10^4$	0,20	7,5692+00	-4,5088+00	3,4032+00	-9,8567-01	8,2662-02	—
2,6	$10^2 \div 2 \cdot 10^4$	0,22	7,8537+00	-5,5526+00	4,1449+00	-1,2228+00	1,0971-01	—
2,6	$10^2 \div 2 \cdot 10^4$	0,24	-7,4753+00	1,6150+01	-7,4162+00	1,4362+00	-1,1278-01	—
2,6	$10^2 \div 2 \cdot 10^4$	0,26	1,8341+01	-2,2534+01	1,2966+01	-3,1766+00	2,6732-01	—
2,6	$10^2 \div 4 \cdot 10^3$	0,28	-3,5037+01	4,3529+01	-1,6196+01	1,9036+00	—	—
2,6	$10^2 \div 8 \cdot 10^2$	0,30	6,9531-01	2,9488-01	-6,3342-02	-4,1592-02	—	—
2,8	$10^2 \div 5 \cdot 10^4$	0,014	1,6685+02	-2,5213+02	1,5565+02	-4,6499+01	6,7111+00	-3,7790-01
2,8	$10^2 \div 5 \cdot 10^4$	0,02	1,1296+01	-9,0441+00	7,4415+00	-2,4130+00	2,9221-01	-1,0880-02
2,8	$10^2 \div 2 \cdot 10^4$	0,04	4,3111+00	2,6790+00	-2,5638-01	-1,7233-01	1,2653-02	—
2,8	$10^2 \div 2 \cdot 10^4$	0,06	8,2628+00	-5,4807+00	4,9531+00	-1,5448+00	1,4046-01	—
2,8	$10^2 \div 2 \cdot 10^4$	0,08	3,4195+00	1,0952+00	1,7116+00	-8,7717-01	9,1473-02	—
2,8	$10^2 \div 2 \cdot 10^4$	0,10	1,4335+01	-1,3250+01	8,3369+00	-2,1774+00	1,8318-01	—
2,8	$10^2 \div 2 \cdot 10^4$	0,12	-2,2132+01	3,4106+01	-1,3853+01	2,2750+00	-1,4123-01	—
2,8	$10^2 \div 2 \cdot 10^4$	0,14	2,7696+01	-3,2093+01	1,7985+01	-4,3513+00	3,6470-01	—
2,8	$10^2 \div 2 \cdot 10^4$	0,16	-8,3393+00	1,7665+01	-7,1316+00	1,1195+00	-6,9944-02	—
2,8	$10^2 \div 2 \cdot 10^4$	0,18	5,5065+00	-2,0867+00	2,8480+00	-1,0393+00	9,9808-02	—
2,8	$10^2 \div 2 \cdot 10^4$	0,20	1,4049+01	-1,3599+01	8,5008+00	-2,2559+00	1,9660-01	—
2,8	$10^2 \div 2 \cdot 10^4$	0,22	3,8058-01	4,4348+00	-3,0618-01	-3,9781-01	5,3572-02	—
2,8	$10^2 \div 2 \cdot 10^4$	0,24	-4,1909+01	6,3099+01	-3,0275+01	6,2277+00	-4,8194-01	—
2,8	$10^2 \div 10^4$	0,26	7,6179+01	-9,9726+01	5,1191+01	-1,1452+01	9,2680-01	—
2,8	$10^2 \div 10^4$	0,28	-6,9188+01	1,0480+02	-5,4639+01	1,2296+01	-1,0280+00	—
2,8	$10^2 \div 10^3$	0,30	-1,1932+01	1,6963+01	-6,5260+00	7,6383-01	—	—
3,0	$10^2 \div 2 \cdot 10^4$	0,011	7,0307+01	-8,7722+01	4,5485+01	-1,0147+01	8,0266-01	—
3,0	$10^2 \div 2 \cdot 10^4$	0,02	2,9389+01	-3,2814+01	1,8469+01	-4,4247+00	3,5986-01	—
3,0	$10^2 \div 2 \cdot 10^4$	0,04	4,2510+01	-5,1610+01	2,7987+01	-6,5370+00	5,3341-01	—
3,0	$10^2 \div 2 \cdot 10^4$	0,06	1,6718+01	-1,7101+01	1,1137+01	-2,9937+00	2,6151-01	—
3,0	$10^2 \div 2 \cdot 10^4$	0,08	1,8802+01	-2,0782+01	1,3187+01	-3,4891+00	3,0347-01	—
3,0	$10^2 \div 2 \cdot 10^4$	0,10	-5,5817+00	1,3743+01	-4,6563+00	5,0126-01	-2,1206-02	—
3,0	$10^2 \div 2 \cdot 10^4$	0,12	-6,0171+00	1,3067+01	-3,7220+00	1,5574-01	1,8442-02	—

Продолжение табл. 1

L	$E, \text{кэВ}$	$10^{-4} \frac{B_1}{T_{\text{л}}}$	A_1	A_2	A_3	A_4	A_5	A_6
3,0	$10^2 \div 10^4$	0,14	6,1650 +01	-7,9083 +01	4,2058 +01	-9,7403 +00	8,0652 -01	—
3,0	$10^2 \div 10^4$	0,16	-1,8200 +01	3,3991 +01	-1,6651 +01	3,5169 +00	-2,9458 -01	—
3,0	$10^2 \div 10^4$	0,18	-1,0080 +01	2,1648 +01	-9,8085 +00	1,8518 +00	-1,4490 -01	—
3,0	$10^2 \div 10^4$	0,20	-3,887 +00	1,116 +01	-3,577 +00	2,720 -01	—	—
3,0	$10^2 \div 10^4$	0,22	-3,511 +00	1,030 +01	-3,234 +00	2,302 -01	—	—
3,0	$10^2 \div 10^4$	0,24	-3,477 +00	1,053 +01	-3,484 +00	2,770 -01	—	—
3,0	$10^2 \div 10^4$	0,26	-1,924 +00	8,390 +00	-2,668 +00	1,777 -01	—	—
3,0	$10^2 \div 10^4$	0,28	5,331 -01	5,720 +00	-1,870 +00	1,023 -01	—	—
3,0	$10^2 \div 4 \cdot 10^3$	0,30	2,888 +00	2,686 +00	-8,690 -01	—	—	—
3,0	$10^2 \div 4 \cdot 10^3$	0,32	2,349 +00	2,028 +00	-6,986 -01	—	—	—
3,0	$10^2 \div 4 \cdot 10^3$	0,34	3,322 +00	-1,161 +00	—	—	—	—

Коэффициенты для расчета энергетического распределения плотности
потока протонов в фазе минимума 11-летнего цикла
солнечной активности

L	E, кэВ	$\frac{B_1}{10^{-4} \text{Тл}}$	A ₁	A ₂	A ₃	A ₄	A ₅	A ₆
1,2	$10^2 \div 10^6$	0,18	-6,8118-01	5,6578+00	-2,7116+00	5,6237-01	-4,2966-02	—
1,2	$10^2 \div 10^6$	0,20	2,0640+00	1,6626+00	-1,0262+00	2,6343-01	-2,3928-02	—
1,2	$10^2 \div 10^6$	0,22	-1,0104+01	1,2978+01	-5,4256+00	9,8665-01	-6,5820-02	—
1,4	$10^2 \div 10^6$	0,11	-1,7891+00	8,6972+00	-3,8226+00	7,2772-01	-5,2919-02	—
1,4	$10^2 \div 10^6$	0,12	3,4160+00	2,1412+00	-1,1021+00	2,6187-01	-2,4502-02	—
1,4	$10^2 \div 10^6$	0,14	1,3484-01	5,8297+00	-2,7014+00	5,4794-01	-4,2315-02	—
1,4	$10^2 \div 10^6$	0,16	2,2042+00	3,0136+00	-1,6013+00	3,7461-01	-3,2673-02	—
1,4	$10^2 \div 10^6$	0,18	4,4589+00	9,3309-02	-4,3419-01	1,8069-01	-2,1219-02	—
1,4	$10^2 \div 10^6$	0,20	4,5024+00	-4,7874-01	-9,6370-02	9,7679-02	-1,4193-02	—
1,4	$10^2 \div 10^6$	0,22	7,1295+00	-4,4030+00	1,5426+00	-1,9204-01	4,5154-03	—
1,4	$10^2 \div 10^6$	0,24	5,6900+00	-6,1330+00	2,7359+00	-5,0815-01	3,2841-02	—
1,6	$10^2 \div 10^6$	0,07	6,0902+01	-7,7545+01	4,2045+01	-1,0920+01	1,3619+00	-6,6134-02
1,6	$10^2 \div 10^6$	0,08	5,2324+01	-6,8696+01	3,8825+01	-1,0459+01	1,3465+00	-6,7218-02
1,6	$10^2 \div 10^6$	0,10	2,0024+01	-2,0557+01	1,1137+01	-2,8642+00	3,4930-01	-1,6767-02
1,6	$10^2 \div 10^6$	0,12	2,4522+01	-2,8610+01	1,5942+01	-4,2243+00	5,3631-01	-2,6802-02
1,6	$10^2 \div 10^6$	0,14	6,4652+00	-2,8787+00	1,7720+00	-4,8767-01	6,1678-02	-3,4228-02
1,6	$10^2 \div 10^6$	0,16	-1,4346+01	2,6908+01	-1,4759+01	3,9094+00	-5,0174-01	2,4568-02
1,6	$10^2 \div 10^6$	0,18	-5,7934+00	1,5332+01	-9,3053+00	2,7295+00	-3,8356-01	2,0221-02
1,6	$10^2 \div 10^6$	0,20	-3,1337+01	5,1982+01	-2,9517+01	8,0542+00	-1,0581+00	5,3292-02
1,6	$10^2 \div 10^6$	0,22	-3,6652+01	6,2143+01	-3,6873+01	1,0406+01	-1,3999+00	7,1807-02
1,6	$10^2 \div 10^6$	0,24	-3,8794+01	6,0926+01	-3,4506+01	9,3916+00	-1,2300+00	6,1856-02
1,8	$10^2 \div 4 \cdot 10^5$	0,05	1,0900+02	-1,5283+02	8,7649+01	-2,4118+01	3,1901+00	-1,6378-01
1,8	$10^2 \div 4 \cdot 10^5$	0,06	7,7294+01	-1,0576+02	6,0559+01	-1,6620+01	2,1893+00	-1,1203-01
1,8	$10^2 \div 4 \cdot 10^5$	0,08	1,1073+02	-1,5853+02	9,2250+01	-2,5816+01	3,4814+00	-1,8250-01

L	E, кэВ	B_1 10^{-4} Гл	A ₁	A ₂	A ₃	A ₄	A ₅	A ₆
1,8	$10^2 \div 4 \cdot 10^5$	0,10	8,0342+01	-1,1147+02	6,4031+01	-1,7711+01	2,3643+00	-1,2310-01
1,8	$10^2 \div 4 \cdot 10^5$	0,12	5,8946+01	-8,0205+01	4,6243+01	-1,2880+01	1,7370+00	-9,1825-02
1,8	$10^2 \div 4 \cdot 10^5$	0,14	7,9869+01	-1,1369+02	6,6455+01	-1,8734+01	2,5544+00	-1,3602-01
1,8	$10^2 \div 2 \cdot 10^5$	0,16	6,5530+01	-9,4134+01	5,6167+01	-1,6198+01	2,2645+00	-1,2388-01
1,8	$10^2 \div 2 \cdot 10^5$	0,18	3,5920+01	-5,0424+01	3,1291+01	-9,4533+00	1,3930+00	-8,0909-02
1,8	$10^2 \div 2 \cdot 10^5$	0,20	5,1880+01	-7,5038+01	4,5495+01	-1,3394+01	1,9217+00	-1,0845-01
1,8	$10^2 \div 2 \cdot 10^5$	0,22	7,7781+01	-1,1368+02	6,7579+01	-1,9601+01	2,7841+00	-1,5590-01
1,8	$10^2 \div 10^5$	0,24	-1,4475+01	2,5925+01	-1,4973+01	4,1462+00	-5,4575-01	2,6608-02
1,8	$10^2 \div 10^5$	0,26	7,4718+00	-8,0437+00	4,7845+00	-1,5642+00	2,7634-01	-2,0400-02
2,0	$10^2 \div 4 \cdot 10^5$	0,039	1,1840+02	-1,6589+02	9,5171+01	-2,6235+01	3,4754+00	-1,7868-01
2,0	$10^2 \div 4 \cdot 10^5$	0,04	8,1954+01	-1,0926+02	6,1099+01	-1,6292+01	2,0647+00	-1,0068-01
2,0	$10^2 \div 4 \cdot 10^5$	0,06	9,6433+01	-1,3561+02	7,8729+01	-2,1971+01	2,9478+00	-1,5371-01
2,0	$10^2 \div 2 \cdot 10^5$	0,08	4,1155+01	-5,3695+01	3,1205+01	-8,5688+00	1,1083+00	-5,5149-02
2,0	$10^2 \div 2 \cdot 10^5$	0,10	7,0278+01	-9,7944+01	5,7324+01	-1,6141+01	2,1864+00	-1,1541-01
2,0	$10^2 \div 2 \cdot 10^5$	0,12	7,3123+01	-1,0352+02	6,0937+01	-1,7235+01	2,3440+00	-1,2408-01
2,0	$10^2 \div 2 \cdot 10^5$	0,14	1,3598+02	-1,9646+02	1,1386+02	-3,1869+01	4,3159+00	-2,2789-01
2,0	$10^2 \div 2 \cdot 10^5$	0,16	7,6281+01	-1,0978+02	6,5024+01	-1,8503+01	2,5333+00	-1,3495-01
2,0	$10^2 \div 2 \cdot 10^5$	0,18	7,1849+01	-1,0324+02	6,1273+01	-1,7503+01	2,4100+00	-1,2936-01
2,0	$10^2 \div 2 \cdot 10^5$	0,20	5,2618+01	-7,4466+01	4,4755+01	-1,2929+01	1,7969+00	-9,7440-02
2,0	$10^2 \div 2 \cdot 10^5$	0,22	9,4997+01	-1,3980+02	8,3413+01	-2,4049+01	3,3540+00	-1,8252-01
2,0	$10^2 \div 10^5$	0,24	7,0407+01	-1,0409+02	6,2883+01	-1,8296+01	2,5693+00	-1,4078-01
2,0	$10^2 \div 10^5$	0,26	1,0544+02	-1,5997+02	9,7350+01	-2,8669+01	4,0908+00	-2,2778-01
2,0	$10^2 \div 5 \cdot 10^4$	0,28	-6,6831+01	1,1768+02	-7,7816+01	2,5201+01	-3,9961+00	2,4701-01
2,2	$10^2 \div 2 \cdot 10^5$	0,029	5,5283+01	-7,0575+01	4,0002+01	-1,0757+01	1,3576+00	-6,5450-02
2,2	$10^2 \div 2 \cdot 10^5$	0,04	6,2187+01	-8,5489+01	5,0577+01	-1,4200+01	1,8857+00	-9,6356-02
2,2	$10^2 \div 2 \cdot 10^5$	0,06	5,7628+01	-7,8174+01	4,6144+01	-1,3036+01	1,7531+00	-9,1246-02
2,2	$10^2 \div 2 \cdot 10^5$	0,08	8,9409+01	-1,2439+02	7,1885+01	-2,0004+01	2,6733+00	-1,3879-01
2,2	$10^2 \div 2 \cdot 10^5$	0,10	4,6542+01	-6,3525+01	3,8223+01	-1,0977+01	1,4980+00	-7,9232-02
2,2	$10^2 \div 2 \cdot 10^5$	0,12	4,2061+01	-5,5597+01	3,2789+01	-9,2347+00	1,2344+00	-6,3991-02

L	E, кэВ	$\frac{B}{10^{-4}} \Gamma$	A ₁	A ₂	A ₃	A ₄	A ₅	A ₆
2,2	10 ² ÷ 10 ⁵	0,14	3,7197+01	-4,7248+01	2,7146+01	-7,4137+00	9,5167+01	-4,6955-02
2,2	10 ² ÷ 10 ⁵	0,16	-2,5578+01	5,1510+01	-3,3350+01	1,0595+01	-1,6596+00	1,0097-01
2,2	10 ² ÷ 10 ⁵	0,18	5,5831+01	-7,6832+01	4,4985+01	-1,2647+01	1,7002+00	-8,8766-02
2,2	10 ² ÷ 10 ⁵	0,20	3,1537+01	-4,1357+01	2,4570+01	-6,8834+00	9,0078-01	-4,5145-02
2,2	10 ² ÷ 10 ⁵	0,22	3,3244+01	-4,1016+01	2,2375+01	-5,6537+00	6,4072-01	-2,5910-02
2,2	10 ² ÷ 10 ⁵	0,24	-3,0137+01	5,3948+01	-3,2523+01	9,5956+00	-1,3975+00	7,9186-02
2,2	10 ² ÷ 5 · 10 ⁴	0,26	6,6588+01	-9,7810+01	5,9102+01	-1,7275+01	2,4451+00	1,3580-01
2,2	10 ² ÷ 2 · 10 ⁴	0,28	4,6082+01	-5,9566+01	2,9298+01	-5,1534+00	4,6222-01	-
2,4	10 ² ÷ 10 ⁴	0,022	4,1555+01	-5,3045+01	3,1929+01	-9,0163+00	1,1748+00	-5,7843-02
2,4	10 ² ÷ 10 ⁴	0,04	9,8184+01	-1,4321+02	8,7194+01	-2,5556+01	3,5925+00	-1,9583-01
2,4	10 ² ÷ 10 ⁴	0,06	1,8582+01	-1,9866+01	1,3083+01	-4,0612+00	5,7622-01	-3,1467-02
2,4	10 ² ÷ 10 ⁴	0,08	6,2151+01	-8,8765+01	5,5007+01	-1,6447+01	2,3592+00	-1,3178-01
2,4	10 ² ÷ 10 ⁴	0,10	5,7130+01	-7,9022+01	4,7398+01	-1,3643+01	1,8724+00	-9,9675-02
2,4	10 ² ÷ 10 ⁴	0,12	9,3028+01	-1,3859+02	8,6131+01	-2,5972+01	3,7876+00	-2,1571-01
2,4	10 ² ÷ 10 ⁴	0,14	5,2088+01	-7,1752+01	4,3164+01	-1,2471+01	1,7166+00	-9,1646-02
2,4	10 ² ÷ 5 · 10 ⁴	0,16	-5,2877+00	1,1856+01	-3,5771+00	2,5088-02	1,1817-01	-1,3378-02
2,4	10 ² ÷ 5 · 10 ⁴	0,18	3,4097+01	-4,2527+01	2,4223+01	-5,4812+00	7,9073-01	-3,5476-02
2,4	10 ² ÷ 5 · 10 ⁴	0,20	1,3502+02	-2,0584+02	1,2682+02	-3,7925+01	5,5055+00	-3,1273-01
2,4	10 ² ÷ 5 · 10 ⁴	0,22	3,8517+01	-5,5576+01	3,5511+01	-1,0857+01	1,5833+00	-9,0038-02
2,4	10 ² ÷ 5 · 10 ⁴	0,24	5,5407+01	-8,0580+01	4,9733+01	-1,4801+01	2,1152+00	-1,1786-01
2,4	10 ² ÷ 5 · 10 ⁴	0,26	1,9047+02	-2,9785+02	1,8559+02	-5,6362+01	8,3493+00	-4,8522-01
2,4	10 ² ÷ 10 ⁴	0,28	3,4267+01	-4,1304+01	2,0071+01	-4,2706+00	3,2687-01	-
2,6	10 ² ÷ 5 · 10 ⁴	0,018	2,0500+01	-1,7055+01	8,3755+00	-1,5106+00	3,8920-03	1,3462-02
2,6	10 ² ÷ 5 · 10 ⁴	0,02	1,4779+02	-2,2336+02	1,3831+02	-4,1427+01	5,9991+00	-3,3928-01
2,6	10 ² ÷ 5 · 10 ⁴	0,04	1,3474+02	-2,0713+02	1,3065+02	-3,9884+01	5,8924+00	-3,3829-01
2,6	10 ² ÷ 5 · 10 ⁴	0,06	5,8965+00	-2,3223+00	3,9352+00	-1,7515+00	2,8436-01	-1,6559-02
2,6	10 ² ÷ 5 · 10 ⁴	0,08	5,8695+00	-8,7353+01	5,6650+01	-1,7572+01	2,5884+00	-1,4714-01
2,6	10 ² ÷ 5 · 10 ⁴	0,10	1,3686+02	-2,1878+02	1,4305+02	-4,5376+01	6,9660+00	-4,1692-01
2,6	10 ² ÷ 5 · 10 ⁴	0,12	1,3254+02	-2,0364+02	1,2814+02	-3,9194+01	5,8134+00	-3,3712-01

L	E, кэВ	$B, 10^{-4} \text{Тл}$	A_1	A_2	A_3	A_4	A_5	A_6
2,6	$10^2 \div 5 \cdot 10^4$	0,14	4,8691+01	-7,0457+01	4,5642+01	-1,4182+01	2,1061+00	-1,2146-01
2,6	$10^2 \div 5 \cdot 10^4$	0,16	-5,4196+01	8,9999+01	-5,1923+01	1,4627+01	-2,0445+00	1,1216-01
2,6	$10^2 \div 5 \cdot 10^4$	0,18	-2,6488+01	4,7883+01	-2,7189+01	7,5590+00	-1,0608+00	5,8800-02
2,6	$10^2 \div 5 \cdot 10^4$	0,20	2,4301+01	-2,6631+01	1,4090+01	-3,2238+00	2,5538-01	—
2,6	$10^2 \div 5 \cdot 10^4$	0,22	4,2530+01	-5,1280+01	2,6037+01	-5,7226+00	4,4619-01	—
2,6	$10^2 \div 5 \cdot 10^4$	0,24	1,9542+01	-2,1926+01	1,2486+01	-3,0559+00	2,5699-01	—
2,6	$10^2 \div 5 \cdot 10^4$	0,26	7,6971+00	-4,1231+00	2,3831+00	-6,0065-01	4,1896-02	—
2,6	$10^2 \div 5 \cdot 10^4$	0,28	5,7719+01	-7,4058+01	3,7346+01	-8,1519+00	6,3871-01	—
2,6	$10^2 \div 4 \cdot 10^3$	0,30	-1,8312+01	2,3912+01	-9,1379+00	1,1024+00	—	—
2,8	$10^2 \div 5 \cdot 10^4$	0,014	1,6685+02	-2,5213+02	1,5565+02	-4,6499+01	6,7111+00	-3,7790-01
2,8	$10^2 \div 5 \cdot 10^4$	0,02	1,1296+01	-9,0441+00	7,4415+00	-2,4130+00	2,9221-01	-1,0880-02
2,8	$10^2 \div 2 \cdot 10^4$	0,04	3,8244+01	-4,5015+01	2,4238+01	-5,6252+00	4,5667-01	—
2,8	$10^2 \div 2 \cdot 10^4$	0,06	8,2628+00	-5,4807+00	4,9531+00	-1,5448+00	1,4046-01	—
2,8	$10^2 \div 2 \cdot 10^4$	0,08	3,4195+00	1,0952+00	1,7116+00	-8,7717-01	9,1473-02	—
2,8	$10^2 \div 2 \cdot 10^4$	0,10	1,4335+01	-1,3250+01	8,3369+00	-2,1774+00	1,8318-01	—
2,8	$10^2 \div 2 \cdot 10^4$	0,12	-1,8015+01	2,9952+01	-1,2593+01	2,1789+00	-1,4668-01	—
2,8	$10^2 \div 2 \cdot 10^4$	0,14	2,7696+01	-3,2093+01	1,7985+01	-4,3513+00	3,6470-01	—
2,8	$10^2 \div 2 \cdot 10^4$	0,16	-9,0264+00	1,8493+01	-7,4737+00	1,1740+00	-7,2363-02	—
2,8	$10^2 \div 2 \cdot 10^4$	0,18	8,0687+00	-5,8077+00	4,8094+00	-1,4843+00	1,3681-01	—
2,8	$10^2 \div 2 \cdot 10^4$	0,20	-3,5244+00	1,0378+01	-3,3563+00	2,7240-01	—	—
2,8	$10^2 \div 2 \cdot 10^4$	0,22	-1,6584+00	8,1991+00	-2,6371+00	1,9821-01	—	—
2,8	$10^2 \div 2 \cdot 10^4$	0,24	8,5116-01	5,4581+00	-1,7637+00	1,1013-01	—	—
2,8	$10^2 \div 2 \cdot 10^4$	0,26	3,0509+00	3,1134+00	-1,0969+00	5,2243-02	—	—
2,8	$10^2 \div 10^4$	0,28	5,0350+00	8,3793-02	9,7062-02	-9,2702-02	—	—
2,8	$10^2 \div 10^4$	0,30	4,3391+00	4,0946-01	-8,8519-02	-6,1554-02	—	—
2,8	$10^2 \div 10^3$	0,32	3,1404+00	6,2303-01	-3,4495-01	—	—	—
3,0	$10^2 \div 2 \cdot 10^4$	0,011	2,2031+01	-2,3688+01	1,4676+01	-3,7399+00	3,1472-01	—
3,0	$10^2 \div 2 \cdot 10^4$	0,02	-7,1515+00	1,4909+01	-4,2490+00	2,8359-01	—	—
3,0	$10^2 \div 2 \cdot 10^4$	0,04	-9,7618+00	1,7381+01	-5,1942+00	3,9829-01	—	—

L	E, кэВ	$\frac{B}{10^{-4} \text{ Тл}}$	A ₁	A ₂	A ₃	A ₄	A ₅	A ₆
3,0	$10^2 \div 2 \cdot 10^4$	0,06	-7,3525+00	1,5334+01	-4,7596+00	3,7674-01	—	—
3,0	$10^2 \div 2 \cdot 10^4$	0,08	-8,6430+00	1,6348+01	-5,0921+00	4,1232-01	—	—
3,0	$10^2 \div 2 \cdot 10^4$	0,10	-3,6653+00	1,1149+01	-3,3792+00	2,2928-01	—	—
3,0	$10^2 \div 2 \cdot 10^4$	0,12	-7,6883+00	1,5326+01	-4,8338+00	3,9238-01	—	—
3,0	$10^2 \div 10^4$	0,14	1,9374-01	6,9651+00	-2,0480+00	9,3781-02	—	—
3,0	$10^2 \div 10^4$	0,16	4,2445+00	2,5639+00	-5,4165-01	-7,4866-02	—	—
3,0	$10^2 \div 10^4$	0,18	9,5589-01	6,1944+00	-1,8864+00	8,5298-02	—	—
3,0	$10^2 \div 10^4$	0,20	-3,8861+00	1,1156+01	-3,5764+00	2,7190-01	—	—
3,0	$10^2 \div 10^4$	0,22	-3,7546+00	1,0360+01	-3,1736+00	2,1520-01	—	—
3,0	$10^2 \div 10^4$	0,24	-2,8910+00	9,5601+00	-3,0180+00	2,1147-01	—	—
3,0	$10^2 \div 10^4$	0,26	-1,9248+00	8,3902+00	-2,6677+00	1,7771-01	—	—
3,0	$10^2 \div 10^4$	0,28	3,6545+00	2,0426+00	-4,7929-01	-6,4815-02	—	—
3,0	$10^2 \div 4 \cdot 10^3$	0,30	-5,3336+00	1,1645+01	-4,0559+00	3,7034-01	—	—
3,0	$10^2 \div 4 \cdot 10^3$	0,32	3,2373+01	-3,3557+01	1,2974+01	-1,6958+00	—	—
3,0	$10^2 \div 8 \cdot 10^2$	0,34	2,8465+00	-7,7171-01	—	—	—	—
3,2	$10^2 \div 2 \cdot 10^4$	0,009	6,9358+01	-8,7709+01	4,6199+01	-1,0454+01	8,3549-01	—
3,2	$10^2 \div 2 \cdot 10^4$	0,01	-4,3563+00	9,9981+00	-2,0702+00	—	—	—
3,2	$10^2 \div 2 \cdot 10^4$	0,02	1,6653+00	6,4019+00	-1,6603+00	1,8801-02	—	—
3,2	$10^2 \div 10^4$	0,04	3,8609+00	3,2295+00	-3,7906-01	-1,5069-01	—	—
3,2	$10^2 \div 10^4$	0,06	-5,9380+00	1,4425+01	-4,5495+00	3,4367-01	—	—
3,2	$10^2 \div 10^4$	0,08	-2,7789+00	1,0773+01	-3,2727+00	2,0179-01	—	—
3,2	$10^2 \div 10^4$	0,10	-6,2358-01	7,8537+00	-2,1722+00	7,3560-02	—	—
3,2	$10^2 \div 10^4$	0,12	4,8104+00	2,7406+00	-7,0418-01	-6,1204-02	—	—
3,2	$10^2 \div 10^4$	0,14	1,9477+00	5,8585+00	-1,8031+00	6,1420-02	—	—
3,2	$10^2 \div 10^4$	0,16	-4,2691+00	1,2059+01	-3,8136+00	2,7142-01	—	—
3,2	$10^2 \div 10^4$	0,18	-4,2444+00	1,2240+01	-3,9815+00	2,9769-01	—	—
3,2	$10^2 \div 10^4$	0,20	-1,8986+00	9,6635+00	-3,1181+00	2,0484-01	—	—
3,2	$10^2 \div 8 \cdot 10^3$	0,22	1,3766+00	5,3586+00	-1,4476+00	—	—	—
3,2	$10^2 \div 8 \cdot 10^3$	0,24	4,2486-01	5,8693+00	-1,5370+00	—	—	—
3,2	$10^2 \div 4 \cdot 10^3$	0,26	1,8249-01	5,9530+00	-1,5652+00	—	—	—

L	E, кэВ	$10^{-4} \frac{B_1}{T_1}$	A ₁	A ₂	A ₃	A ₄	A ₅	A ₆
3,2	$10^2 \div 4 \cdot 10^3$	0,28	2,7036—01	5,6114+00	—1,5079+00	—	—	—
3,2	$10^2 \div 4 \cdot 10^3$	0,30	1,6166+00	3,9928+00	—1,2089+00	—	—	—
3,2	$10^2 \div 10^3$	0,32	9,6746+00	—4,6846+00	6,7242—01	—	—	—
3,2	$10^2 \div 8 \cdot 10^2$	0,34	4,0420+00	—1,2662+00	—	—	—	—
3,4	$10^2 \div 10^4$	0,008	1,1772+02	—1,5700+02	8,2830+01	—1,8906+01	1,5504+00	—
3,4	$10^2 \div 10^4$	0,01	2,2814+00	5,7671+00	—1,2759+00	—5,1955—02	—	—
3,4	$10^2 \div 10^4$	0,02	9,7622+00	—2,6211+00	1,5745+00	—3,6719—01	—	—
3,4	$10^2 \div 10^4$	0,04	—2,6772+00	1,0372+01	—2,8472+00	1,1284—01	—	—
3,4	$10^2 \div 10^4$	0,06	—1,6202+00	9,5417+00	—2,7325+00	1,1672—01	—	—
3,4	$10^2 \div 10^4$	0,08	—4,5537+00	1,2737+01	—3,9354+00	2,6310—01	—	—
3,4	$10^2 \div 10^4$	0,10	—4,8570+00	1,2794+01	—3,9724+00	2,7019—01	—	—
3,4	$10^2 \div 10^4$	0,12	—5,1540+00	1,3529+01	—4,4039+00	3,3597—01	—	—
3,4	$10^2 \div 8 \cdot 10^3$	0,14	—2,1547+00	1,0376+01	—3,3602+00	2,2353—01	—	—
3,4	$10^2 \div 8 \cdot 10^3$	0,16	—3,3854+00	1,1430+01	—3,6519+00	2,4730—01	—	—
3,4	$10^2 \div 8 \cdot 10^3$	0,18	3,7367+00	3,2585+00	—6,8791—01	—1,0054—01	—	—
3,4	$10^2 \div 8 \cdot 10^3$	0,20	—1,0965+00	8,6759+00	—2,6893+00	1,3789—01	—	—
3,4	$10^2 \div 8 \cdot 10^3$	0,22	—8,2681—02	7,5933+00	—2,3870+00	1,1424—01	—	—
3,4	$10^2 \div 4 \cdot 10^3$	0,24	1,9455+00	5,1228+00	—1,4722+00	—	—	—
3,4	$10^2 \div 4 \cdot 10^3$	0,26	6,8911—02	6,3050+00	—1,6767+00	—	—	—
3,4	$10^2 \div 4 \cdot 10^3$	0,28	2,2926+00	4,1794+00	—1,2632+00	—	—	—
3,4	$10^2 \div 4 \cdot 10^3$	0,30	3,7888+00	2,3937+00	—9,3319—01	—	—	—
3,4	$10^2 \div 10^3$	0,32	4,2843+00	2,4071—01	—4,4194—01	—	—	—
3,4	$10^2 \div 8 \cdot 10^2$	0,34	6,2313+00	—2,1179+00	—	—	—	—
3,6	$10^2 \div 10^4$	0,007	1,5343—01	7,4553+00	—1,4853+00	—8,3328—02	—	—
3,6	$10^2 \div 10^4$	0,01	1,2635+00	6,0364+00	—1,1128+00	—1,1119—01	—	—
3,6	$10^2 \div 10^4$	0,02	5,0911+00	1,9784+00	1,7090—01	—2,4629—01	—	—
3,6	$10^2 \div 8 \cdot 10^3$	0,04	2,3450+00	4,5375+00	—6,6035—01	—1,6319—01	—	—
3,6	$10^2 \div 8 \cdot 10^3$	0,06	—6,9508+00	1,4802+01	—4,3680+00	2,6407—01	—	—
3,6	$10^2 \div 4 \cdot 10^3$	0,08	—8,9376—01	7,8753+00	—1,9637+00	—	—	—

L	E. кэВ	$\frac{B}{10^{-4} T_{\text{Л}}}$	A_1	A_2	A_3	A_4	A_5	A_6
3,6	$10^2 \div 4 \cdot 10^3$	0,10	2,9509—01	6,9535+00	—1,8087+00	—	—	—
3,6	$10^2 \div 4 \cdot 10^3$	0,12	1,2331+00	6,2929+00	—1,7022+00	—	—	—
3,6	$10^2 \div 4 \cdot 10^3$	0,14	2,2201—01	6,9719+00	—1,8293+00	—	—	—
3,6	$10^2 \div 4 \cdot 10^3$	0,16	—4,3395—03	7,1097+00	—1,8595+00	—	—	—
3,6	$10^2 \div 4 \cdot 10^3$	0,18	—8,4964—01	7,6292+00	—1,9521+00	—	—	—
3,6	$10^2 \div 4 \cdot 10^3$	0,20	5,4115—01	6,4173+00	—1,7233+00	—	—	—
3,6	$10^2 \div 4 \cdot 10^3$	0,22	—1,4721—01	6,8773+00	—1,8222+00	—	—	—
3,6	$10^2 \div 4 \cdot 10^3$	0,24	—1,1261+00	7,2904+00	—1,8608+00	—	—	—
3,6	$10^2 \div 4 \cdot 10^3$	0,26	2,9543—01	6,1066+00	—1,6523+00	—	—	—
3,6	$10^2 \div 4 \cdot 10^3$	0,28	1,0398+00	5,1286+00	—1,4571+00	—	—	—
3,6	$10^2 \div 4 \cdot 10^3$	0,30	4,6150+00	1,8726+00	—8,5449—01	—	—	—
3,6	$10^2 \div 10^3$	0,32	9,1509+00	—3,2822+00	2,7769—01	—	—	—
3,6	$10^2 \div 8 \cdot 10^2$	0,34	—1,8602+01	2,0421+01	—4,7350+00	—	—	—
3,8	$10^2 \div 4 \cdot 10^3$	0,006	1,9739+01	—1,5586+01	7,3018+00	—1,1840+00	—	—
3,8	$10^2 \div 4 \cdot 10^3$	0,01	—2,8928—01	8,2933+00	—2,0878+00	—	—	—
3,8	$10^2 \div 4 \cdot 10^3$	0,02	—2,9255+00	1,0071+01	—2,4134+00	—	—	—
3,8	$10^2 \div 4 \cdot 10^3$	0,04	—3,5981+00	1,0393+01	—2,4762+00	—	—	—
3,8	$10^2 \div 4 \cdot 10^3$	0,06	—4,0948+00	1,0558+01	—2,5027+00	—	—	—
3,8	$10^2 \div 4 \cdot 10^3$	0,08	—2,2146+00	9,0760+00	—2,2456+00	—	—	—
3,8	$10^2 \div 4 \cdot 10^3$	0,10	—2,3331+00	9,2027+00	—2,2965+00	—	—	—
3,8	$10^2 \div 4 \cdot 10^3$	0,12	—2,2372+00	9,0693+00	—2,2674+00	—	—	—
3,8	$10^2 \div 4 \cdot 10^3$	0,14	—1,4637+00	8,3967+00	—2,1405+00	—	—	—
3,8	$10^2 \div 4 \cdot 10^3$	0,16	—1,8331+00	8,5424+00	—2,1611+00	—	—	—
3,8	$10^2 \div 4 \cdot 10^3$	0,18	—2,1534+00	8,6473+00	—2,1682+00	—	—	—
3,8	$10^2 \div 4 \cdot 10^3$	0,20	—1,6499+00	8,1366+00	—2,0785+00	—	—	—
3,8	$10^2 \div 4 \cdot 10^3$	0,22	—7,7645—01	7,4622+00	—1,9645+00	—	—	—
3,8	$10^2 \div 4 \cdot 10^3$	0,24	—7,8876—01	7,1650+00	—1,8899+00	—	—	—
3,8	$10^2 \div 4 \cdot 10^3$	0,26	—7,7345+00	7,8100+00	—2,0111+00	—	—	—
3,8	$10^2 \div 4 \cdot 10^3$	0,28	—1,5424+00	7,3248+00	—1,9129+00	—	—	—
3,8	$10^2 \div 10^3$	0,30	4,6227+00	1,9287+00	—8,8913—01	—	—	—

L	E, кэВ	$\frac{B_1}{10^{-4} T \lambda}$	A ₁	A ₂	A ₃	A ₄	A ₅	A ₆
3,8	10 ² ÷ 10 ³	0,32	7,0798+00	-1,2776+00	-1,2755-01	—	—	—
3,8	10 ² ÷ 10 ³	0,34	-3,2316+00	6,8987+00	-1,7727+00	—	—	—
3,8	10 ² ÷ 8 · 10 ²	0,36	5,8314+00	-1,7579+00	—	—	—	—
4,0	10 ² ÷ 4 · 10 ³	0,005	2,1661+01	-1,9446+01	9,3351+00	-1,5135+00	—	—
4,0	10 ² ÷ 4 · 10 ³	0,01	-3,9697+00	1,1234+01	-2,6815+00	—	—	—
4,0	10 ² ÷ 4 · 10 ³	0,02	-4,2189+00	1,1185+01	-2,6776+00	—	—	—
4,0	10 ² ÷ 4 · 10 ³	0,04	-4,9326+00	1,1335+01	-2,6885+00	—	—	—
4,0	10 ² ÷ 4 · 10 ³	0,06	-2,3539+00	9,3700+00	-2,3527+00	—	—	—
4,0	10 ² ÷ 4 · 10 ³	0,08	-3,4439+00	1,0170+01	-2,5028+00	—	—	—
4,0	10 ² ÷ 4 · 10 ³	0,10	-3,3921+00	1,0032+01	-2,4764+00	—	—	—
4,0	10 ² ÷ 4 · 10 ³	0,12	-2,5975+00	9,3585+00	-2,3598+00	—	—	—
4,0	10 ² ÷ 4 · 10 ³	0,14	-2,5897+00	9,3485+00	-2,3736+00	—	—	—
4,0	10 ² ÷ 4 · 10 ³	0,16	-2,6897+00	9,2803+00	-2,3465+00	—	—	—
4,0	10 ² ÷ 4 · 10 ³	0,18	-2,8692+00	9,2168+00	-2,3145+00	—	—	—
4,0	10 ² ÷ 4 · 10 ³	0,20	-3,3899+00	9,6891+00	-2,4270+00	—	—	—
4,0	10 ² ÷ 4 · 10 ³	0,22	-2,5801+00	8,7215+00	-2,2207+00	—	—	—
4,0	10 ² ÷ 4 · 10 ³	0,24	-1,9875+00	8,2769+00	-2,1439+00	—	—	—
4,0	10 ² ÷ 10 ³	0,26	7,8247-01	5,6705+00	-1,5851+00	—	—	—
4,0	10 ² ÷ 10 ³	0,28	-1,8990+00	7,7791+00	-2,0460+00	—	—	—
4,0	10 ² ÷ 10 ³	0,30	1,0643+00	4,9581+00	-1,5267+00	—	—	—
4,0	10 ² ÷ 10 ³	0,32	3,0345+00	2,2263+00	-8,6978-01	—	—	—
4,0	10 ² ÷ 10 ³	0,34	-5,4783+00	8,5288+00	-2,0696+00	—	—	—
4,0	10 ² ÷ 8 · 10 ²	0,36	5,6243+00	-1,6412+00	—	—	—	—
4,0	10 ² ÷ 8 · 10 ²	0,38	2,7370+00	-8,6860-01	—	—	—	—
4,2	10 ² ÷ 4 · 10 ³	0,004	2,7223+01	-2,5304+01	1,1365+01	-1,7596+00	—	—
4,2	10 ² ÷ 4 · 10 ³	0,005	-1,908 +00	9,658 +00	-2,352 +00	—	—	—
4,2	10 ² ÷ 4 · 10 ³	0,01	-6,0578+00	1,2979+01	-3,0758+00	—	—	—
4,2	10 ² ÷ 4 · 10 ³	0,02	-5,0009+00	1,1877+01	-2,8723+00	—	—	—
4,2	10 ² ÷ 4 · 10 ³	0,04	-6,1805+00	1,2613+01	-3,0222+00	—	—	—
4,2	10 ² ÷ 4 · 10 ³	0,06	-4,8869+00	1,1544+01	-2,8277+00	—	—	—

L	E, кЭВ	$\frac{B}{10^{-4} \GammaЛ}$	A ₁	A ₂	A ₃	A ₄	A ₅	A ₆
4,2	10 ² ÷ 10 ³	0,08	-5,5718+00	1,1997+01	-2,9317+00	—	—	—
4,2	10 ² ÷ 10 ³	0,10	-1,1320+00	8,3178+00	-2,2013+00	—	—	—
4,2	10 ² ÷ 10 ³	0,12	1,9419-01	7,1319+00	-1,9634+00	—	—	—
4,2	10 ² ÷ 10 ³	0,14	-2,8883+00	9,5633+00	-2,4402+00	—	—	—
4,2	10 ² ÷ 10 ³	0,16	-2,5945+00	9,1998+00	-2,3748+00	—	—	—
4,2	10 ² ÷ 10 ³	0,18	3,5809+00	4,0602+00	-1,3502+00	—	—	—
4,2	10 ² ÷ 10 ³	0,20	-1,9697+00	8,3094+00	-2,1625+00	—	—	—
4,2	10 ² ÷ 10 ³	0,22	-3,1339+00	9,3877+00	-2,4109+00	—	—	—
4,2	10 ² ÷ 10 ³	0,24	-1,6030+00	8,0029+00	-2,1246+00	—	—	—
4,2	10 ² ÷ 10 ³	0,26	-4,6088+00	1,0352+01	-2,6000+00	—	—	—
4,2	10 ² ÷ 10 ³	0,28	-5,3864+00	1,0525+01	-2,5901+00	—	—	—
4,2	10 ² ÷ 10 ³	0,30	1,0491+00	5,0179+00	-1,5536+00	—	—	—
4,2	10 ² ÷ 10 ³	0,32	2,4638+00	2,6488+00	-9,4949-01	—	—	—
4,2	10 ² ÷ 10 ³	0,34	-5,3977+00	2,5498+00	-2,1009+00	—	—	—
4,2	10 ² ÷ 10 ³	0,36	-4,0681+00	6,5087+00	-1,6624+00	—	—	—
4,2	10 ² ÷ 4 · 10 ²	0,38	3,623 +00	-1,161 +00	—	—	—	—
4,4	10 ² ÷ 10 ³	0,004	3,538 +00	4,965 +00	-1,392 +00	—	—	—
4,4	10 ² ÷ 10 ³	0,005	1,7381+01	-3,9960+00	—	—	—	—
4,4	10 ² ÷ 10 ³	0,01	-2,628 +01	1,031 +01	-2,626 +00	—	—	—
4,4	10 ² ÷ 10 ³	0,02	-9,682 -01	8,308 +00	-2,162 +00	—	—	—
4,4	10 ² ÷ 10 ³	0,04	-6,056 +00	1,287 +01	-3,171 +00	—	—	—
4,4	10 ² ÷ 10 ³	0,06	-6,506 +00	1,319 +01	-3,257 +00	—	—	—
4,4	10 ² ÷ 10 ³	0,08	-5,086 +00	1,180 +01	-2,956 +00	—	—	—
4,4	10 ² ÷ 10 ³	0,10	-4,377 +00	1,120 +01	-2,852 +00	—	—	—
4,4	10 ² ÷ 10 ³	0,12	-1,619 +00	8,691 +00	-2,321 +00	—	—	—
4,4	10 ² ÷ 10 ³	0,14	-3,246 +00	1,013 +01	-2,636 +00	—	—	—
4,4	10 ² ÷ 10 ³	0,16	-3,453 -01	7,538 +00	-2,107 +00	—	—	—
4,4	10 ² ÷ 10 ³	0,18	8,244 +00	7,383 +01	-3,356 +00	—	—	—
4,4	10 ² ÷ 10 ³	0,20	-4,344 +00	1,060 +01	-2,712 +00	—	—	—
4,4	10 ² ÷ 10 ³	0,22	-1,261 +00	8,071 +00	-2,220 +00	—	—	—
4,4	10 ² ÷ 10 ³	0,24	-2,231 +00	8,743 +00	-2,352 +00	—	—	—

L	E, кэВ	$\frac{B_s}{10^{-4} \text{ Тл}}$	A_1	A_2	A_3	A_4	A_5	A_6
4,4	$10^2 \div 10^3$	0,26	-4,075+00	1,007+01	-2,613+00	—	—	—
4,4	$10^2 \div 10^3$	0,28	2,582+00	4,059+00	-1,350+00	—	—	—
4,4	$10^2 \div 10^3$	0,30	-9,642-01	6,900+00	-1,994+00	—	—	—
4,4	$10^2 \div 10^3$	0,32	-1,836+00	6,075+00	-1,632+00	—	—	—
4,4	$10^2 \div 10^3$	0,34	-9,252+00	1,134+01	-2,608+00	—	—	—
4,4	$10^2 \div 10^3$	0,36	-4,255+00	6,901+00	-1,769+00	—	—	—
4,4	$10^2 \div 8 \cdot 10^2$	0,38	-1,871+00	3,954+00	-1,140+00	—	—	—
4,6	$10^2 \div 10^3$	0,003	-1,973+00	9,749+00	-2,420+00	—	—	—
4,6	$10^2 \div 10^3$	0,005	-3,6394+01	3,4685+01	-6,9797+00	—	—	—
4,6	$10^2 \div 10^3$	0,01	-3,297+00	1,102+01	-2,862+00	—	—	—
4,6	$10^2 \div 10^3$	0,02	-4,580+00	1,171+01	-2,960+00	—	—	—
4,6	$10^2 \div 10^3$	0,04	-7,673+00	1,447+01	-3,591+00	—	—	—
4,6	$10^2 \div 10^3$	0,06	-7,169+00	1,380+01	-3,433+00	—	—	—
4,6	$10^2 \div 10^3$	0,08	-8,011+00	1,452+01	-3,608+00	—	—	—
4,6	$10^2 \div 10^3$	0,10	-2,070+00	9,396+00	-2,562+00	—	—	—
4,6	$10^2 \div 10^3$	0,12	-2,633+00	9,917+00	-2,682+00	—	—	—
4,6	$10^2 \div 10^3$	0,14	-5,533+00	1,214+01	-3,109+00	—	—	—
4,6	$10^2 \div 10^3$	0,16	-6,075+00	1,264+01	-3,225+00	—	—	—
4,6	$10^2 \div 10^3$	0,18	-8,229+00	1,407+01	-3,475+00	—	—	—
4,6	$10^2 \div 10^3$	0,20	-5,740+00	1,212+01	-3,121+00	—	—	—
4,6	$10^2 \div 10^3$	0,22	-3,161+00	9,851+00	-2,659+00	—	—	—
4,6	$10^2 \div 10^3$	0,24	-2,745+00	9,390+00	-2,565+00	—	—	—
4,6	$10^2 \div 10^3$	0,26	-6,546+00	1,217+01	-3,078+00	—	—	—
4,6	$10^2 \div 10^3$	0,28	-6,785+00	1,180+01	-2,956+00	—	—	—
4,6	$10^2 \div 10^3$	0,30	-7,807-01	6,718+00	-1,966+00	—	—	—
4,6	$10^2 \div 10^3$	0,32	-3,794-01	5,241+00	-1,535+00	—	—	—
4,6	$10^2 \div 10^3$	0,34	-6,246+00	9,433+00	-2,331+00	—	—	—
4,6	$10^2 \div 10^3$	0,36	-4,568+00	7,101+00	-1,790+00	—	—	—
4,6	$10^2 \div 10^3$	0,38	-2,672+00	4,832+00	-1,347+00	—	—	—

L	E, кэВ	$\frac{B}{10^{-4} T_r}$	A ₁	A ₂	A ₃	A ₄	A ₅	A ₆
4,8	10 ² ÷ 10 ³	0,003	-3,551+00	1,126+01	-2,801+00	—	—	—
4,8	10 ² ÷ 10 ³	0,005	-8,384+01	6,971+01	-1,348+01	—	—	—
4,8	10 ² ÷ 10 ³	0,01	-1,222+01	1,839+01	-4,385+00	—	—	—
4,8	10 ² ÷ 10 ³	0,02	-1,042+01	1,711+01	-4,199+00	—	—	—
4,9	10 ² ÷ 10 ³	0,04	-1,124+01	1,771+01	-4,335+00	—	—	—
4,8	10 ² ÷ 10 ³	0,06	-1,191+01	1,821+01	-4,453+00	—	—	—
4,8	10 ² ÷ 10 ³	0,08	-7,268+00	1,428+01	-3,671+00	—	—	—
4,8	10 ² ÷ 10 ³	0,10	-8,885+00	1,544+01	-3,879+00	—	—	—
4,8	10 ² ÷ 10 ³	0,12	-9,521+00	1,586+01	-3,976+00	—	—	—
4,8	10 ² ÷ 10 ³	0,14	-7,833+01	1,446+01	-3,698+00	—	—	—
4,8	10 ² ÷ 10 ³	0,16	-9,884+00	1,631+01	-4,112+00	—	—	—
4,8	10 ² ÷ 10 ³	0,18	-1,134+01	1,709+01	-4,210+00	—	—	—
4,8	10 ² ÷ 10 ³	0,20	-9,461+00	1,560+01	-3,934+00	—	—	—
4,8	10 ² ÷ 10 ³	0,22	-7,305+00	1,380+01	-3,586+00	—	—	—
4,8	10 ² ÷ 10 ³	0,24	-3,538+00	1,058+01	-2,946+00	—	—	—
4,8	10 ² ÷ 10 ³	0,26	-8,268+00	1,428+01	-3,671+00	—	—	—
4,8	10 ² ÷ 10 ³	0,28	-6,491+00	1,242+01	-3,261+00	—	—	—
4,8	10 ² ÷ 10 ³	0,30	-4,732+00	1,079+01	-2,962+00	—	—	—
4,8	10 ² ÷ 10 ³	0,32	-2,009+00	7,993+00	-2,344+00	—	—	—
4,8	10 ² ÷ 10 ³	0,34	-8,826+00	1,264+01	-3,187+00	—	—	—
4,8	10 ² ÷ 10 ³	0,36	8,498+00	-2,792+00	9,925-03	—	—	—
4,8	10 ² ÷ 4 · 10 ²	0,38	1,903+00	—	—	—	—	—
4,8	10 ² ÷ 4 · 10 ²	0,40	1,000+00	—	—	—	—	—
5,0	10 ² ÷ 10 ³	0,002	-8,161+00	1,525+01	-3,685+00	—	—	—
5,0	10 ² ÷ 10 ³	0,005	-8,948+00	1,595+01	-3,923+00	—	—	—
5,0	10 ² ÷ 10 ³	0,010	-1,464+01	2,074+01	-4,959+00	—	—	—
5,0	10 ² ÷ 10 ³	0,020	-1,168+01	1,837+01	-4,529+00	—	—	—
5,0	10 ² ÷ 10 ³	0,040	-1,484+01	2,096+01	-5,076+00	—	—	—
5,0	10 ² ÷ 10 ³	0,060	-1,352+01	1,979+01	-4,868+00	—	—	—
5,0	10 ² ÷ 10 ³	0,080	-1,168+01	1,830+01	-4,580+00	—	—	—
5,0	10 ² ÷ 10 ³	0,10	-1,159+01	1,811+01	-4,541+00	—	—	—

L	E, кэВ	B_s , 10^{-1} Тл	A_1	A_2	A_3	A_4	A_5	A_6
5,0	$10^2 \div 10^3$	0,12	-1,276+01	1,887+01	-4,673+00	—	—	—
5,0	$10^2 \div 10^3$	0,14	-1,136+01	1,777+01	-4,468+00	—	—	—
5,0	$10^2 \div 10^3$	0,16	-1,339+01	1,908+01	-4,692+00	—	—	—
5,0	$10^2 \div 10^3$	0,18	-1,060+01	1,684+01	-4,272+00	—	—	—
5,0	$10^2 \div 10^3$	0,20	-1,280+01	1,886+01	-4,727+00	—	—	—
5,0	$10^2 \div 10^3$	0,22	-9,962+00	1,652+01	-4,282+00	—	—	—
5,0	$10^2 \div 10^3$	0,24	-1,135+01	1,753+01	-4,466+00	—	—	—
5,0	$10^2 \div 10^3$	0,26	-1,060+01	1,677+01	-4,310+00	—	—	—
5,0	$10^2 \div 10^3$	0,28	-1,002+01	1,611+01	-4,183+00	—	—	—
5,0	$10^2 \div 10^3$	0,30	-9,909+00	1,606+01	-4,226+00	—	—	—
5,0	$10^2 \div 10^3$	0,32	-8,133+00	1,416+01	-3,819+00	—	—	—
5,0	$10^2 \div 10^3$	0,34	-8,201+00	1,361+01	-3,679+00	—	—	—
5,0	$10^2 \div 10^3$	0,36	1,110+01	-3,898+00	—	—	—	—
5,2	$10^2 \div 10^3$	0,002	-7,399+00	1,470+01	-3,598+00	—	—	—
5,2	$10^2 \div 10^3$	0,005	-6,239+01	5,498+01	-1,106+01	—	—	—
5,2	$10^2 \div 10^3$	0,01	-1,549+01	2,168+01	-5,216+00	—	—	—
5,2	$10^2 \div 10^3$	0,02	-6,490+00	1,406+01	-3,700+00	—	—	—
5,2	$10^2 \div 10^3$	0,04	-1,357+01	2,002+01	-4,945+00	—	—	—
5,2	$10^2 \div 10^3$	0,06	-1,500+01	2,125+01	-5,224+00	—	—	—
5,2	$10^2 \div 10^3$	0,08	-1,644+01	2,238+01	-5,461+00	—	—	—
5,2	$10^2 \div 10^3$	0,10	-1,428+01	2,033+01	-5,023+00	—	—	—
5,2	$10^2 \div 10^3$	0,12	-1,344+01	1,976+01	-4,945+00	—	—	—
5,2	$10^2 \div 10^3$	0,14	-2,123+01	2,603+01	-6,209+00	—	—	—
5,2	$10^2 \div 10^3$	0,16	-1,685+01	2,236+01	-5,469+00	—	—	—
5,2	$10^2 \div 10^3$	0,18	-9,995+00	1,663+01	-4,318+00	—	—	—
5,2	$10^2 \div 10^3$	0,20	-1,196+01	1,830+01	-4,674+00	—	—	—
5,2	$10^2 \div 10^3$	0,22	-1,337+01	1,951+01	-4,938+00	—	—	—
5,2	$10^2 \div 10^3$	0,24	-1,186+01	1,812+01	-4,652+00	—	—	—
5,2	$10^2 \div 10^3$	0,26	-1,369+01	1,953+01	-4,941+00	—	—	—
5,2	$10^2 \div 10^3$	0,28	-1,384+01	1,948+01	-4,955+00	—	—	—
5,2	$10^2 \div 10^3$	0,30	1,264+01	-3,822+00	—	—	—	—

L	E, кэВ	$\frac{B_i}{10^{-4} \text{Тл}}$	A ₁	A ₂	A ₃	A ₄	A ₅	A ₆
5,2	$10^2 \div 10^3$	0,32	1,271+01	-4,115+00	—	—	—	—
5,2	$10^2 \div 10^3$	0,34	1,297+01	-4,483+00	—	—	—	—
5,2	$10^2 \div 10^3$	0,36	1,097+01	-3,983+00	—	—	—	—
5,4	$10^2 \div 10^3$	0,002	-9,852+00	1,679+01	-4,065+00	—	—	—
5,4	$10^2 \div 10^3$	0,005	-5,929+01	5,272+01	-1,068+01	—	—	—
5,4	$10^2 \div 10^3$	0,01	-1,306+01	1,976+01	-4,888+00	—	—	—
5,4	$10^2 \div 10^3$	0,02	-1,180+01	1,868+01	-4,694+00	—	—	—
5,4	$10^2 \div 10^3$	0,04	-1,630+01	2,237+01	-5,463+00	—	—	—
5,4	$10^2 \div 10^3$	0,06	-1,677+01	2,276+01	-5,571+00	—	—	—
5,4	$10^2 \div 10^3$	0,08	-1,832+01	2,423+01	-5,919+00	—	—	—
5,4	$10^2 \div 10^3$	0,10	-1,733+01	2,323+01	-5,708+00	—	—	—
5,4	$10^2 \div 10^3$	0,12	-1,747+01	2,290+01	-5,582+00	—	—	—
5,4	$10^2 \div 10^3$	0,14	-1,888+01	2,416+01	-5,858+00	—	—	—
5,4	$10^2 \div 10^3$	0,16	-1,333+01	1,958+01	-4,958+00	—	—	—
5,4	$10^2 \div 10^3$	0,18	-1,515+01	2,112+01	-5,283+00	—	—	—
5,4	$10^2 \div 10^3$	0,20	-1,624+01	2,207+01	-5,500+00	—	—	—
5,4	$10^2 \div 10^3$	0,22	-1,575+01	2,159+01	-5,415+00	—	—	—
5,4	$10^2 \div 10^3$	0,24	-1,628+01	2,213+01	-5,570+00	—	—	—
5,4	$10^2 \div 10^3$	0,26	-1,704+01	2,246+01	-5,603+00	—	—	—
5,4	$10^2 \div 10^3$	0,28	-1,751+01	2,246+01	-5,603+00	—	—	—
5,4	$10^2 \div 10^3$	0,30	1,367+01	-4,483+00	—	—	—	—
5,4	$10^2 \div 10^3$	0,32	1,355+01	-4,822+00	—	—	—	—
5,4	$10^2 \div 10^3$	0,34	1,146+01	-4,080+00	—	—	—	—
5,4	$10^2 \div 10^3$	0,36	1,125+01	-4,322+00	—	—	—	—
5,6	$10^2 \div 10^3$	0,002	-6,279+00	1,360+01	-3,409+00	—	—	—
5,6	$10^2 \div 10^3$	0,005	-5,959+01	5,272+01	-1,068+01	—	—	—
5,6	$10^2 \div 10^3$	0,01	-1,037+01	1,753+01	-4,463+00	—	—	—
5,6	$10^2 \div 10^3$	0,02	-1,268+01	1,942+01	-4,867+00	—	—	—
5,6	$10^2 \div 10^3$	0,04	-1,516+01	2,160+01	-5,363+00	—	—	—

L	E, кэВ	B_1' 10^{-4} Тл	A_1	A_2	A_3	A_4	A_5	A_6
5,6	$10^2 \div 10^3$	0,06	-2,043+01	2,583+01	-6,232+00	—	—	—
5,6	$10^2 \div 10^3$	0,08	-1,794+01	2,376+01	-5,821+00	—	—	—
5,6	$10^2 \div 10^3$	0,10	-1,893+01	2,417+01	-5,851+00	—	—	—
5,6	$10^2 \div 10^3$	0,12	-1,330+01	1,957+01	-4,963+00	—	—	—
5,6	$10^2 \div 10^3$	0,14	-1,456+01	2,059+01	-5,207+00	—	—	—
5,6	$10^2 \div 10^3$	0,16	-1,678+01	2,256+01	-5,598+00	—	—	—
5,6	$10^2 \div 10^3$	0,18	-1,733+01	2,305+01	-5,719+00	—	—	—
5,6	$10^2 \div 10^3$	0,20	-1,980+01	2,510+01	-6,157+00	—	—	—
5,6	$10^2 \div 10^3$	0,22	-1,843+01	2,380+01	-5,894+00	—	—	—
5,6	$10^2 \div 10^3$	0,24	-1,913+01	2,431+01	-6,004+00	—	—	—
5,6	$10^2 \div 10^3$	0,26	-1,873+01	2,380+01	-5,894+00	—	—	—
5,6	$10^2 \div 10^3$	0,28	-2,168+01	2,635+01	-6,503+00	—	—	—
5,6	$10^2 \div 10^3$	0,30	1,340+01	-4,398+00	—	—	—	—
5,6	$10^2 \div 10^3$	0,32	1,330+01	-4,726+00	—	—	—	—
5,6	$10^2 \div 10^3$	0,34	1,038+01	-3,691+00	—	—	—	—
5,6	$10^2 \div 10^3$	0,36	1,071+01	-4,115+00	—	—	—	—
5,8	$10^2 \div 10^3$	0,001	-8,485+00	1,532+01	-3,864+00	—	—	—
5,8	$10^2 \div 10^3$	0,005	-6,885+01	5,898+01	-1,172+01	—	—	—
5,8	$10^2 \div 10^3$	0,01	-1,276+01	1,940+01	-4,835+00	—	—	—
5,8	$10^2 \div 10^3$	0,02	-1,111+01	1,810+01	-4,621+00	—	—	—
5,8	$10^2 \div 10^3$	0,04	-2,059+01	2,587+01	-6,212+00	—	—	—
5,8	$10^2 \div 10^3$	0,06	-2,184+01	2,656+01	-6,322+00	—	—	—
5,8	$10^2 \div 10^3$	0,08	-1,898+01	2,416+01	-5,858+00	—	—	—
5,8	$10^2 \div 10^3$	0,10	-1,326+01	1,956+01	-4,968+00	—	—	—
5,8	$10^2 \div 10^3$	0,12	-1,451+01	2,068+01	-5,214+00	—	—	—
5,8	$10^2 \div 10^3$	0,14	-1,624+01	2,207+01	-5,500+00	—	—	—
5,8	$10^2 \div 10^3$	0,16	-1,655+01	2,237+01	-5,584+00	—	—	—
5,8	$10^2 \div 10^3$	0,18	-1,869+01	2,415+01	-5,977+00	—	—	—
5,8	$10^2 \div 10^3$	0,20	-1,754+01	2,303+01	-5,731+00	—	—	—
5,8	$10^2 \div 10^3$	0,22	-1,913+01	2,431+01	-6,004+00	—	—	—
5,8	$10^2 \div 10^3$	0,24	-2,058+01	2,544+01	-6,251+00	—	—	—

L	E, кэВ	$\frac{B}{10^{-4} T_L}$	A ₁	A ₂	A ₃	A ₄	A ₅	A ₆
5,8	10 ² ÷ 10 ³	0,26	-1,751+01	2,246+01	-5,603+00	—	—	—
5,8	10 ² ÷ 10 ³	0,28	-1,764+01	2,286+01	-5,781+00	—	—	—
5,8	10 ² ÷ 4 · 10 ²	0,30	1,322+01	-4,372+00	—	—	—	—
5,8	10 ² ÷ 4 · 10 ²	0,32	1,301+01	-4,615+00	—	—	—	—
5,8	10 ² ÷ 4 · 10 ²	0,34	1,038+01	-3,691+00	—	—	—	—
5,8	10 ² ÷ 4 · 10 ²	0,36	1,071+01	-4,115+00	—	—	—	—
6,0	10 ² ÷ 10 ³	0,001	-6,315+00	1,385+01	-3,521+00	—	—	—
6,0	10 ² ÷ 10 ³	0,005	-4,726+01	4,405+01	-9,208+00	—	—	—
6,0	10 ² ÷ 10 ³	0,01	-1,350+01	2,003+01	-4,987+00	—	—	—
6,0	10 ² ÷ 10 ³	0,02	-1,117+01	1,812+01	-4,652+00	—	—	—
6,0	10 ² ÷ 10 ³	0,04	-1,357+01	2,010+01	-5,081+00	—	—	—
6,0	10 ² ÷ 10 ³	0,06	-2,081+01	2,585+01	-6,222+00	—	—	—
6,0	10 ² ÷ 10 ³	0,08	-1,451+01	2,068+01	-5,214+00	—	—	—
6,0	10 ² ÷ 10 ³	0,10	-1,737+01	2,302+01	-5,692+00	—	—	—
6,0	10 ² ÷ 10 ³	0,12	-1,655+01	2,237+01	-5,584+00	—	—	—
6,0	10 ² ÷ 10 ³	0,14	-1,869+01	2,415+01	-5,977+00	—	—	—
6,0	10 ² ÷ 10 ³	0,16	-1,843+01	2,380+01	-5,894+00	—	—	—
6,0	10 ² ÷ 10 ³	0,18	-1,913+01	2,431+01	-6,004+00	—	—	—
6,0	10 ² ÷ 10 ³	0,20	-1,873+01	2,380+01	-5,894+00	—	—	—
6,0	10 ² ÷ 10 ³	0,22	-1,333+01	1,941+01	-5,049+00	—	—	—
6,0	10 ² ÷ 10 ³	0,24	-1,778+01	2,282+01	-5,716+00	—	—	—
6,0	10 ² ÷ 4 · 10 ²	0,26	1,134+01	-3,322+00	—	—	—	—
6,0	10 ² ÷ 4 · 10 ²	0,28	1,271+01	-4,115+00	—	—	—	—
6,0	10 ² ÷ 4 · 10 ²	0,30	1,277+01	-4,407+00	—	—	—	—
6,0	10 ² ÷ 4 · 10 ²	0,32	1,195+01	-4,322+00	—	—	—	—
6,0	10 ² ÷ 4 · 10 ²	0,34	1,071+01	-3,934+00	—	—	—	—
6,2	10 ² ÷ 10 ³	0,001	-6,378+00	1,360+01	-3,457+00	—	—	—
6,2	10 ² ÷ 10 ³	0,005	-4,262+01	4,075+01	-8,649+00	—	—	—
6,2	10 ² ÷ 10 ³	0,01	-1,431+01	2,069+01	-5,149+00	—	—	—
6,2	10 ² ÷ 10 ³	0,02	-1,295+01	1,956+01	-4,968+00	—	—	—

L	E, кэВ	$\frac{B}{10^{-4}} \text{ ТЛ}$	A_1	A_2	A_3	A_4	A_5	A_6
6,2	$10^2 \div 10^3$	0,04	-1,230+01	1,867+01	-4,759+00	—	—	—
6,2	$10^2 \div 10^3$	0,06	-1,678+01	2,256+01	-5,598+00	—	—	—
6,2	$10^2 \div 10^3$	0,08	-1,808+01	2,359+01	-5,816+00	—	—	—
6,2	$10^2 \div 10^3$	0,10	-2,082+01	2,583+01	-6,289+00	—	—	—
6,2	$10^2 \div 10^3$	0,12	-1,754+01	2,303+01	-5,731+00	—	—	—
6,2	$10^2 \div 10^3$	0,14	-1,802+01	2,333+01	-5,791+00	—	—	—
6,2	$10^2 \div 10^3$	0,16	-1,721+01	2,246+01	-5,603+00	—	—	—
6,2	$10^2 \div 10^3$	0,18	-1,333+01	1,941+01	-5,049+00	—	—	—
6,2	$10^2 \div 10^3$	0,20	-2,088+01	2,544+01	-6,251+00	—	—	—
6,2	$10^2 \div 4 \cdot 10^2$	0,22	1,238+01	-3,691+00	—	—	—	—
6,2	$10^2 \div 4 \cdot 10^2$	0,24	1,201+01	-3,615+00	—	—	—	—
6,2	$10^2 \div 4 \cdot 10^2$	0,26	1,095+01	-3,322+00	—	—	—	—
6,2	$10^2 \div 4 \cdot 10^2$	0,28	1,197+01	-3,983+00	—	—	—	—
6,2	$10^2 \div 4 \cdot 10^2$	0,30	1,186+01	-4,191+00	—	—	—	—
6,2	$10^2 \div 4 \cdot 10^2$	0,32	1,177+01	-4,407+00	—	—	—	—
6,2	$10^2 \div 4 \cdot 10^2$	0,34	1,071+01	-4,115+00	—	—	—	—
6,4	$10^2 \div 10^3$	0,001	-7,887+00	1,492+01	-3,754+00	—	—	—
6,4	$10^2 \div 10^3$	0,005	-4,062+01	3,927+01	-8,399+00	—	—	—
6,4	$10^2 \div 10^3$	0,01	-1,639+01	2,233+01	-5,490+00	—	—	—
6,4	$10^2 \div 10^3$	0,02	-9,288+00	1,608+01	-4,216+00	—	—	—
6,4	$10^2 \div 10^3$	0,04	-1,515+01	2,112+01	-5,283+00	—	—	—
6,4	$10^2 \div 10^3$	0,06	-1,895+01	2,422+01	-5,927+00	—	—	—
6,4	$10^2 \div 10^3$	0,08	-2,019+01	2,544+01	-6,251+00	—	—	—
6,4	$10^2 \div 8 \cdot 10^2$	0,10	-1,616+01	2,169+01	-5,435+00	—	—	—
6,4	$10^2 \div 8 \cdot 10^2$	0,12	-1,476+01	2,068+01	-5,279+00	—	—	—
6,4	$10^2 \div 8 \cdot 10^2$	0,14	-2,058+01	2,544+01	-6,251+00	—	—	—
6,4	$10^2 \div 8 \cdot 10^2$	0,16	-1,751+01	2,246+01	-5,603+00	—	—	—
6,4	$10^2 \div 8 \cdot 10^2$	0,18	-2,518+01	2,930+01	-7,106+00	—	—	—
6,4	$10^2 \div 4 \cdot 10^2$	0,20	1,223+01	-3,661+00	—	—	—	—
6,4	$10^2 \div 4 \cdot 10^2$	0,22	1,208+01	-3,691+00	—	—	—	—
6,4	$10^2 \div 4 \cdot 10^2$	0,24	1,271+01	-4,115+00	—	—	—	—

L	E , кэВ	$10^{-4} \frac{B}{Tл}$	A_1	A_2	A_3	A_4	A_5	A_6
6,4	$10^2 \div 4 \cdot 10^2$	0,26	1,064+01	-3,322+00	—	—	—	—
6,4	$10^2 \div 4 \cdot 10^2$	0,28	1,230+01	-4,226+00	—	—	—	—
6,4	$10^2 \div 4 \cdot 10^2$	0,30	1,203+01	-4,276+00	—	—	—	—
6,4	$10^2 \div 4 \cdot 10^2$	0,32	1,177+01	-4,407+00	—	—	—	—
6,4	$10^2 \div 4 \cdot 10^2$	0,34	1,071+01	-4,115+00	—	—	—	—
6,6	$10^2 \div 10^3$	0,001	-4,115+00	1,172+01	-3,107+00	—	—	—
6,6	$10^2 \div 10^3$	0,005	-3,870+01	3,789+01	-8,165+00	—	—	—
6,6	$10^2 \div 10^3$	0,01	-2,123+01	2,603+00	-6,209+00	—	—	—
6,6	$10^2 \div 10^3$	0,02	-1,051+01	1,719+01	-4,465+00	—	—	—
6,6	$10^2 \div 10^3$	0,04	-1,658+01	2,217+01	-5,493+00	—	—	—
6,6	$10^2 \div 10^3$	0,06	-1,995+01	2,505+01	-6,138+00	—	—	—
6,6	$10^2 \div 10^3$	0,08	-1,802+01	2,333+01	-5,791+00	—	—	—
6,6	$10^2 \div 8 \cdot 10^2$	0,10	-1,873+01	2,380+01	-5,894+00	—	—	—
6,6	$10^2 \div 8 \cdot 10^2$	0,12	-1,751+01	2,246+01	-5,603+00	—	—	—
6,6	$10^2 \div 8 \cdot 10^2$	0,14	-2,088+01	2,544+01	-6,251+00	—	—	—
6,6	$10^2 \div 8 \cdot 10^2$	0,16	-2,232+01	2,681+01	-6,588+00	—	—	—
6,6	$10^2 \div 4 \cdot 10^2$	0,18	1,201+01	-3,615+00	—	—	—	—
6,6	$10^2 \div 4 \cdot 10^2$	0,20	1,267+01	-3,983+00	—	—	—	—
6,6	$10^2 \div 4 \cdot 10^2$	0,22	1,271+01	-4,115+00	—	—	—	—
6,6	$10^2 \div 4 \cdot 10^2$	0,24	1,268+01	-4,191+00	—	—	—	—
6,6	$10^2 \div 4 \cdot 10^2$	0,26	1,238+01	-4,191+00	—	—	—	—
6,6	$10^2 \div 4 \cdot 10^2$	0,28	1,301+01	-4,615+00	—	—	—	—
6,6	$10^2 \div 4 \cdot 10^2$	0,30	1,146+01	-4,080+00	—	—	—	—
6,6	$10^2 \div 4 \cdot 10^2$	0,32	1,138+01	-4,191+00	—	—	—	—
6,6	$10^2 \div 4 \cdot 10^2$	0,34	1,167+01	-4,483+00	—	—	—	—

Примечания к табл. 1 и 2:

1. Подчеркнуты значения индукции геомагнитного поля B на экваторе L -оболочки.
2. Две последние цифры со знаком «+» или «-» опре деляют порядок стоящего слева десятичного числа.

**Коэффициенты для расчета пространственного распределения плотности
потока протонов в плоскости геомагнитного экватора в фазе максимума
11-летнего цикла**

E , кэВ	Диапазон L , не более	C_1	C_2	C_3	C_4	C_5
$1 \cdot 10^2$	3,0	-2,803+01	5,301+01	-3,147+01	8,776+00	-9,416-01
$4 \cdot 10^2$	3,0	-3,184+01	6,126+01	-3,775+01	1,078+01	-1,175+00
$8 \cdot 10^2$	3,0	-2,398+01	4,727+01	-2,957+01	9,025+00	-1,070+00
$1 \cdot 10^3$	3,0	-3,885+01	7,448+01	-4,628+01	1,296+01	-1,363+00
$4 \cdot 10^3$	3,0	-3,731+01	7,026+01	-4,188+01	1,103+01	-1,101+00
$8 \cdot 10^3$	3,0	-5,003+01	9,679+01	-6,162+01	1,716+01	-1,793+00
$1 \cdot 10^4$	3,0	-5,899+01	1,177+02	-7,893+01	2,317+01	-2,544+00
$2 \cdot 10^4$	3,0	-3,983+01	8,031+01	-5,240+01	1,477+01	-1,562+00
$5 \cdot 10^4$	2,8	-6,050+01	1,276+02	-9,078+01	2,775+01	-3,152+00
$1 \cdot 10^5$	2,4	-3,085+01	5,720+01	-2,995+01	4,854+00	—
$2 \cdot 10^5$	2,2	-3,967+01	7,497+01	-4,159+01	7,224+00	—
$4 \cdot 10^5$	2,0	-1,286+01	2,126+01	-7,312+00	—	—

Коэффициенты для расчета пространственного распределения плотности
потока протонов в плоскости геомагнитного экватора в фазе минимума
11-летнего цикла

E , кэВ	Диапазон L , не более	C_1	C_2	C_3	C_4	C_5
$1 \cdot 10^2$	6,6	-9,487+00	1,679+01	-5,595+00	7,879-01	-4,075-02
$4 \cdot 10^2$	6,6	-8,603+00	1,555+01	-5,068+00	6,813-01	-3,368-02
$8 \cdot 10^2$	6,6	-7,569+00	1,408+01	-4,315+00	5,034-01	-2,018-02
$1 \cdot 10^3$	6,6	-7,647+00	1,419+01	-4,352+00	4,971-01	-1,914-02
$4 \cdot 10^3$	4,2	-2,200+01	4,012+01	-2,047+01	4,527+00	-3,841-01
$8 \cdot 10^3$	3,6	-3,058+01	5,814+01	-3,359+01	8,384+00	-7,915-01
$1 \cdot 10^4$	3,6	-3,085+01	5,928+01	-3,495+01	8,906+00	-8,586-01
$2 \cdot 10^4$	3,2	-3,551+01	7,274+01	-4,759+01	1,346+01	-1,433+00
$5 \cdot 10^4$	2,5	-4,494+01	9,535+01	-6,642+01	1,982+01	-2,210+00
$1 \cdot 10^5$	2,4	-2,477+01	4,764+01	-2,499+01	4,010+00	—
$2 \cdot 10^5$	2,2	-3,597+01	6,874+01	-3,814+01	6,595+00	—
$4 \cdot 10^5$	2,0	-3,840+01	7,440+01	-4,281+01	7,667+00	—
$6 \cdot 10^5$	1,6	1,034+00	1,495+00	-5,750-01	—	—
$1 \cdot 10^6$	1,6	-2,219+00	5,720+00	-2,200+00	—	—

Примечание к табл. 3—4. Две последние цифры со знаком «+» или «-» определяют порядок стоящего слева десятичного числа.

МЕТОД РАСЧЕТА ГЕОМАГНИТНЫХ L, B -КООРДИНАТ

1. Значения индукции геомагнитного поля B , Тл определяют по ГОСТ 25645.126—85.

2. Значения параметра дрейфовой оболочки L вычисляют из соотношения

$$\ln\left(\frac{L^3 B}{M} - 1\right) = \sum_{n=0}^{n=9} \alpha_n X^n,$$

где M — магнитный момент Земли, равный $7,91 \cdot 10^{15}$ Тл·м²;

α_n — коэффициенты, значения которых для различных интервалов X приведены в табл. 1;

X — параметр, значения которого вычисляют по формуле

$$X = \ln \frac{I^3 B}{M};$$

I — второй адиабатический инвариант движения, вычисляемый по формуле

$$I = \int_A^{A'} \sqrt{1 - \frac{B_1}{B}} dS;$$

A — точка пространства, для которой вычисляется значение I ;

A' — сопряженная точка отражения;

B — значение индукции геомагнитного поля в точке A ;

B_1 — значение индукции геомагнитного поля вдоль магнитной силовой линии;

dS — элемент длины магнитной силовой линии, связывающий точки A и A' .

3. Значения параметров L и B для ряда точек околоземного пространства с заданными значениями географических широты, долготы и высоты над поверхностью Земли для эпохи 1985 г. приведены в табл. 2.

Таблица 1

Коэффициенты α_n	$X \leq -22$	$-22 \leq X \leq -3$	$-3 \leq X \leq 3$	$3 \leq X \leq 11,7$	$11,7 \leq X \leq 23$	$X \geq 23$
	α_0	3,0062102—01	6,2337691—01	6,2286440—01	6,2223550—01	2,0007187—00
α_1	3,3333800—01	4,3432642—01	4,3352788—01	4,3510529—01	—1,8461796—01	1
α_2	0	1,5017245—02	1,4492441—02	1,2817956—02	1,2038224—01	0
α_3	0	1,3714667—03	1,1784234—03	2,1680398—03	—6,7310339—03	0
α_4	0	8,2711096—05	3,8379917—04	—3,2077032—04	2,170224—04	0
α_5	0	3,2916354—06	—3,3408822—06	7,9451313—05	—3,8049276—06	0
α_6	0	8,1048663—08	—5,3977642—07	—1,2531932—05	2,8212095—08	0
α_7	0	1,0066362—09	—2,1997983—08	9,9766148—07	0	0
α_8	0	8,3232531—13	2,3028767—09	—3,9583060—08	0	0
α_9	0	—8,1537735—14	2,6047023—10	6,3271665—10	0	0

Примечание. Две последние цифры со знаком «+» или «—» определяют порядок стоящего слева десятичного числа.

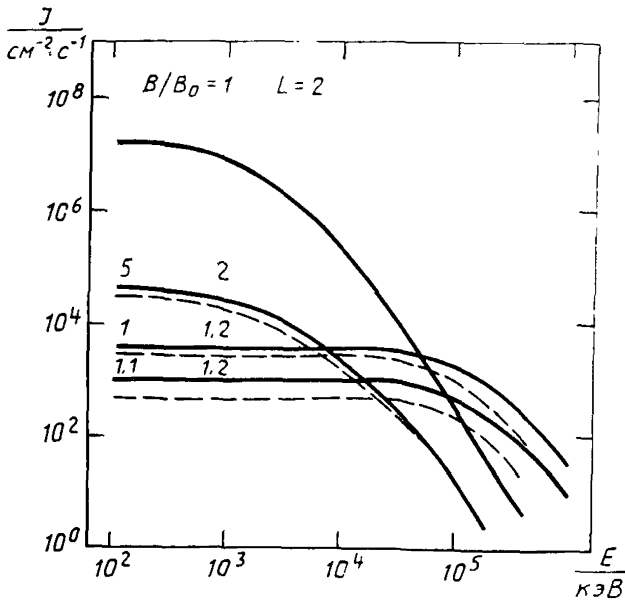
Таблица 2

Широта	Долгота	Высота, км	L	B, 10 ⁻⁴ Тл
90°	0°	360	54,8954	0,4918
60	0	350	5,7993	0,4335
30	0	350	1,2385	0,3370
0	0	350	1,0954	0,2591
-30	0	350	1,6762	0,2400
-60	0	350	3,1802	0,2936
-90	0	350	14,2621	0,4833
90	60	350	54,8952	0,4918
60	60	350	3,1843	0,4773
30	60	350	1,2199	0,3850
0	60	350	1,0289	0,3033
-30	60	350	1,7605	0,3326
-60	60	350	5,7899	0,4015
-90	60	350	14,2622	0,4833
90	120	350	54,8952	0,4918
60	120	350	2,9141	0,5094
30	120	350	1,1589	0,3976
0	120	350	1,0027	0,3473
-30	120	350	1,8352	0,4870
-60	120	350	15,5899	0,5556
-90	120	350	14,2622	0,4833
90	180	350	54,8953	0,4918
60	180	350	3,1161	0,4527
30	180	350	1,2704	0,3198
0	180	350	1,0310	0,2939
-30	180	350	1,5311	0,4228
-60	180	350	5,7810	0,5365
-90	180	350	14,2622	0,4833
90	240	350	54,8956	0,4918
60	240	350	6,3679	0,5058
30	240	350	1,5952	0,3945
0	240	350	1,0629	0,2714
-30	240	350	1,2609	0,3164
-60	240	350	2,6867	0,4430
-90	240	350	14,2621	0,4833
90	300	350	8,1156	0,4869
30	300	350	1,8508	0,3932
0	300	350	1,1768	0,2522
-30	300	350	1,2295	0,2099
-60	300	350	2,1656	0,3167
-90	300	350	14,2621	0,4833
0	0	1000	1,2035	0,1894
30	0	1000	1,3959	0,2519
60	0	1000	4,2173	0,3354
0	0	2000	1,3679	0,1255
30	0	2000	1,6332	0,1702
60	0	2000	6,8700	0,2335
0	0	5000	1,8527	0,0492

Широта	Долгота	Высота, км	L	B , 10^{-4} Тл
30°	0°	5000	2,3289	0,0678
60	0	5000	6,8868	0,0954
0	0	10000	2,6512	0,0167
30	0	10000	3,4775	0,0231
60	0	10000	10,3395	0,0323
0	0	20000	4,2395	0,0041
30	0	20000	5,7382	0,0056
60	0	20000	17,3342	0,0078
0	0	30000	5,8250	0,0016
30	0	30000	7,9870	0,0022
60	0	30000	24,3617	0,0030
0	0	50000	8,9942	0,0004
30	0	50000	12,5054	0,0006
60	0	50000	38,4569	0,0008

**ДАННЫЕ ДЛЯ ПРИБЛИЖЕННЫХ ОЦЕНОК ЭНЕРГЕТИЧЕСКИХ
И ПРОСТРАНСТВЕННЫХ РАСПРЕДЕЛЕНИЙ ПЛОТНОСТИ
ПОТОКА ПРОТОНОВ**

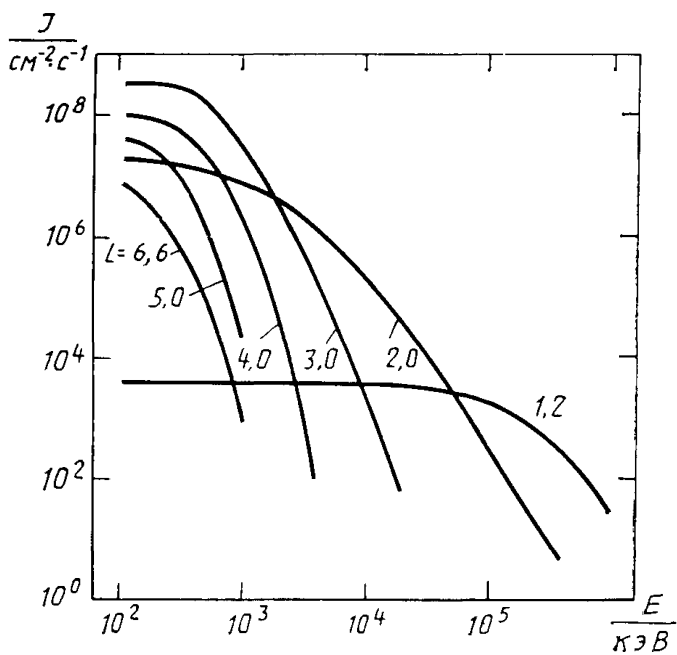
1. Энергетическое распределение плотности потока протонов на дрейфовых оболочках с параметром $L=2$ для $B/B_0=1$; 5 и параметром $L=1, 2$ — для $B/B_0=1$; 1,1 в фазах минимума и максимума 11-летнего цикла приведено на черт. 1, где B_0 — индукция геомагнитного поля на экваторе дрейфовой оболочки.



— минимум 11-летнего цикла;
- - - максимум 11-летнего цикла

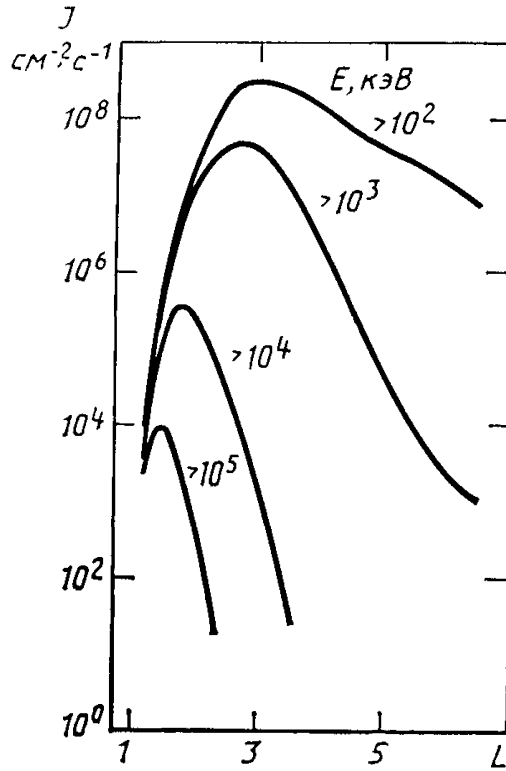
Черт. 1

2. Энергетическое распределение плотности потока протонов на дрейфовых оболочках с параметром $L=6,6; 5,0; 4,0; 3,0; 2,0; 1,2$ в плоскости геомагнитного экватора в фазе минимума 11-летнего цикла приведено на черт. 2.



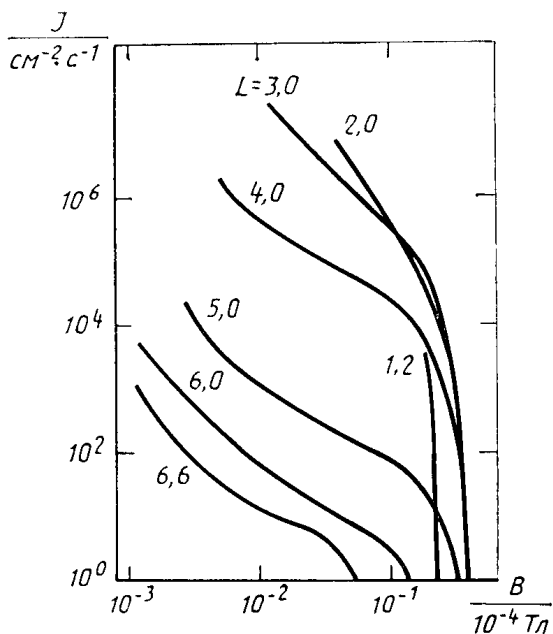
Черт. 2

3. Пространственное распределение плотности потока протонов с энергией $E \geq 10^2$; $\geq 10^3$; $\geq 10^4$; $\geq 10^5$ кэВ в плоскости геомагнитного экватора в фазе минимума 11-летнего цикла приведено на черт. 3.



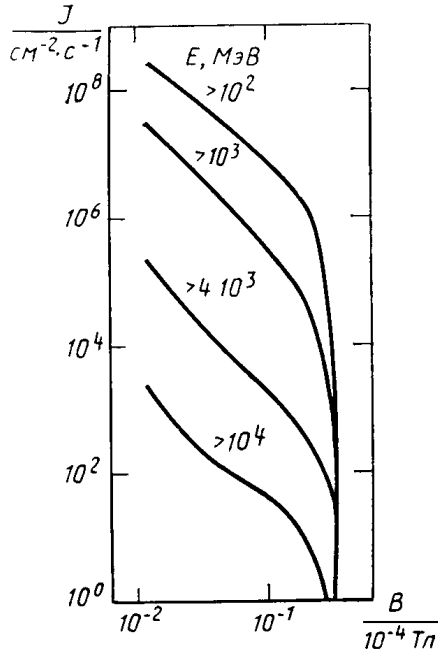
Черт. 3

4. Зависимость плотности потока протонов с энергией $E \geq 10^3$ кэВ от величины индукции геомагнитного поля B на дрейфовых оболочках с параметром $L=6,6; 6,0; 5,0; 4,0; 3,0; 2,0; 1,2$ в фазе минимума 11-летнего цикла приведена на черт. 4.



Черт. 4

5. Зависимость плотности потока протонов с энергией $E \geq 10^2$; $\geq 10^3$; $\geq 4 \cdot 10^3$; $\geq 10^4$ кэВ на дрейфовой оболочке с параметром $L=3$ в фазе минимума 11-летнего цикла приведена на черт. 5.



Черт. 5

Редактор *М. Е. Искандарян*
Технический редактор *Э. В. Митяй*
Корректор *Л. В. Сницарчук*

Сдано в наб. 13.03.90 Подп. в печ. 25.05.90 2,25 усл. п. л. 2,375 усл. кр.-отт. 2,52 уч.-изд. л.
Тир. 3000 Цена 15 к

Ордена «Знак Почета» Издательство стандартов, 123557, Москва, ГСП,
Новопресненский пер., д. 3.
Вильнюсская типография Издательства стандартов, ул. Даряус и Гирено, 39. Зак. 438.